



***Facultad
de
Ciencias***

SEGURIDAD UTILIZANDO DISPOSITIVOS NFC

Security using NFC devices

Trabajo de Fin de Grado
para acceder al

GRADO EN INGENIERÍA INFORMÁTICA

Autor: Fidel Abascal López

Director: Domingo Gómez Pérez

Junio - 2016

Índice general

1. Introducción	7
1.1. Objetivo	8
2. Elementos teóricos	9
2.1. Seguridad	9
2.2. Criptografía	10
2.2.1. Protocolos simétricos y asimétricos	12
2.2.2. Problema del logaritmo discreto	13
2.2.3. Criptología con curvas elípticas - ECC	14
2.3. Tecnología NFC	16
3. APP: Autenticación en un sistema ficticio	17
3.1. Introducción	17
3.2. Materiales y tecnologías utilizadas	18
3.3. Metodología	22
3.4. Escenario	23
3.5. Requisitos y funcionalidades	25
3.6. Diseño y aspecto	33
3.7. Seguridad y criptología	35
3.8. Base de datos	38
3.9. Aplicación desarrollada	39
3.9.1. Inicio y Menú	39
3.9.2. Acerca de	40
3.9.3. Despliegue	41
3.9.4. Nuevo usuario	43
3.9.5. Ver usuarios	43
3.9.6. Verificación	44
3.10. Pruebas	46
4. Conclusiones	49
4.1. Futuras mejoras	49
A. Anexo: Comunicación de claves	51
B. Anexo: EC - Pairing	61

Índice de figuras

2.1. Visualización de las curvas elípticas más representativas.	14
2.2. Suma de puntos en una curva elíptica.	15
3.1. Infraestructura del sistema ficticio.	18
3.2. Smartphone One Plus One - Never Settle	20
3.3. NFC Tag - NTAG213	21
3.4. Diagrama Gantt - Subdivisión de elementos de la aplicación para su desarrollo	22
3.5. Diagrama Gantt : Visualización (I).	23
3.6. Diagrama Gantt : Visualización (II).	23
3.7. Casos de uso	25
3.8. Elementos de diseño: Muestra de la disposición espacial del menú y estruc- tura básica de la aplicación	34
3.9. Interfaz AppEllipticCurveI que se implementa en la aplicación (I).	36
3.10. Interfaz AppEllipticCurveI que se implementa en la aplicación (II).	36
3.11. Suma de puntos implementada en java.	37
3.12. Representación de la base de datos implementada.	38
3.13. Script para la creación de la base de datos.	39
3.14. Vista de la pantalla por defecto 'Inicio'.	40
3.15. Acceso y vista del menú desplegado.	40
3.16. Vista de la pantalla 'Acerca De'.	41
3.17. Pantalla de despliegue del sistema.	42
3.18. Acceso a la pestaña de BBDD y restauración de los datos por defecto.	42
3.19. Nuevo usuario, aviso de creación de un nuevo usuario y escritura de la tarjeta NFC.	43
3.20. Listado de varios usuarios y un usuario del sistema.	44
3.21. Pantalla 'Verificar NFC'.	44
3.22. Verificar NFC válida común y fallida.	45
3.23. Verificar NFC válida, con escritura realizada y sin ella.	46
3.24. Resultado del test JUnit y cobertura de código alcanzada durante el test JUnit.	47
3.25. Script para el test de la creación de una curva elíptica.	47

Resumen

Hace décadas comunicarse mediante un dispositivo que estuviera conectado a una red cableada requería una larga espera y aún así resultaba algo fantástico. Actualmente tenemos la posibilidad de realizar un gesto en cualquier lugar y ponernos en contacto con alguien a cientos o miles de kilómetros. En este sentido, las comunicaciones han evolucionado de una forma increíble. La seguridad en estas comunicaciones es primordial. Debido a esto, el uso de la criptografía es un elemento vital para salvaguardar la privacidad de los usuarios y la del contenido.

La criptografía no se ha quedado atrás y durante el último siglo su progreso ha seguido un ascenso vertiginoso al igual que el de los sistemas de comunicación. Desde los métodos más primitivos basados en cambiar una letra por la anexa; hasta complejos sistemas criptológicos (criptosistemas) que aprovechan ciertas propiedades matemáticas para preservar niveles de seguridad elevados con el gasto de menos recursos (computacionales y de almacenamiento). Optimizar los recursos es esencial para ser competitivo; y para ello la metodología de criptografía basada en curvas elípticas reduce sensiblemente la cantidad de almacenamiento necesaria respecto a otros algoritmos. De la mano va la tecnología NFC (*Near Field Communication*), la cual ha simplificado los dispositivos de comunicación en algo tan pequeño y barato que ha conquistado el planeta en forma de multitud de aplicaciones.

En este Trabajo Fin de Grado (TFG a partir de ahora), propondremos una solución para elaborar sistemas seguros con dispositivos de comunicación de bajo coste y criptología avanzada. A su vez, se implementará una aplicación para *smartphones* que, gracias a algoritmos avanzados de criptografía, permitirán a un usuario crear y utilizar un *tag* NFC como dispositivo de autenticación de alta seguridad en un sistema ficticio.

Palabras clave: *Criptografía, Curvas elípticas, NFC, Autenticación.*

Abstract

Only decades ago, it was really hard to communicate people telematically with each other, even transmit voice was impressive. Nowadays we have the opportunity to make a movement anywhere and put you in contact with someone at hundred or even thousands kilometers. This shows how the communications have evolved in an incredible way. The security on these communications is essential. Due to this, implementing cryptographic systems is vital to preserve the users and content privacy.

Cryptography has evolved at a fast pace since 1980 and during last century its progress has follow a huge rise as communication systems did. From the most primitive methods of letter trans- position to high complexity cryptographic systems (cryptosystems), the goal is to preserve a nice security level without spending a lot of resources (time and storage resources). It is essential to optimize the resources to be competitive; cryptosystems based on elliptic curves cut down noticeably the storage needs compare to others.

Going in the same direction, the NFC technology (Near Field Com- munication) has simplified the communication devices, building cheaper and smaller ones. This technology has conquer the world with a lot of applications. On this bachelor thesis, we propose a solution to make secure systems with low-cost communication devices and advanced cryptography. Furthermore, we have programmed a smartphone application which let the user to make and use a NFC tag as high security authentication device on a made-up system.

Keywords: *Cryptography, elliptic curves, NFC, Authentication.*

1

Introducción

Cuando una persona envía un mensaje a un destinatario con información que considera comprometida o personal, pretende realizarlo con el mínimo riesgo de que dicho mensaje llegue de forma alterada, el contenido sea visualizado por terceras personas y la certeza de que llegue al destinatario deseado. Además, éste quiere que el canal sea seguro y que nadie más intercepte la información; y si ocurriese tal caso, que personas ajenas no sean capaces de interpretar el mensaje y usarlo en su contra -o simplemente no desea difundir la información a alguien que no sea el destinatario-. También es evidente la necesidad de sistemas que eviten de la mejor forma posible la suplantación de usuarios; por ello, la autenticación apoyada en la criptografía resulta indispensable.

Existe el consenso generalizado que aquellos elementos más seguros a la hora de identificar y autenticar a un usuario de un sistema son aquellos que implican el uso de parámetros biométricos. Por ejemplo, el algoritmo para el reconocimiento del iris patentado por el investigador de la universidad de Cambridge, John Daugman, se basa en el iris como elemento único e intransferible para cada persona [32]. De forma análoga se utilizan algoritmos basados en la estructura facial o huellas dactilares. Por otra parte, Manuel Lucena López, doctor en informática de la universidad de Jaén, asegura en [25] que esta clase de requerimientos biométricos se pueden reducir a problemas de autenticación basada en dispositivos. Es decir, una tarjeta puede actuar con el mismo compromiso de seguridad que dichos elementos biológicos.

Al igual, en los sistemas criptográficos (criptosistemas), la implementación más segura suele ser la menos eficiente. En la actualidad, la competencia entre empresas e investigadores hace de la optimización un objetivo en el que se invierten ingentes cantidades de recursos. En el campo de la automoción competitiva, un incremento de la velocidad punta de 3km/h puede implicar reducir el tiempo de un competidor en unas décimas vitales que podrían suponer la diferencia entre ser primero o ser segundo. La criptología y la seguridad de comunicaciones también están afectadas por este hecho y no están exentas de la

voracidad por optimizar el trinomio de recursos, tiempo y resultados. Dentro de este contexto de competencia e innovación, una tecnología tan asequible como NFC (*Near Field Communication*), - dispositivos para la comunicación de información empleando radiofrecuencia de corto alcance- que ha conquistado numerosos ámbitos como tarjetas monedero o tarjetas bancarias, será el soporte de estudio de este Trabajo de Fin de Grado (TFG a partir de ahora) como dispositivo de autenticación.

Como suele ser habitual, un dispositivo barato tiene ciertas desventajas. Respecto a la seguridad criptográfica con NFC el mayor inconveniente suele ser el tamaño de almacenamiento - inferior a 500 bits generalmente-. Este problema implica utilizar criptosistemas que puedan trabajar con tamaños reducidos de información, sin comprometer la seguridad en ningún caso.

La evolución en la criptografía es considerable desde que en la Segunda Guerra Mundial el proyecto ULTRA tratara de descifrar los mensajes del ejército alemán; quienes se contraban a la vanguardia de la criptografía. Con el paso del tiempo, se avanzó hacia criptosistemas más complejos. En 1976 Whitfield Diffie y Martin Hellman publicaban un algoritmo para compartir claves seguras (llamado Diffie-Hellman) [7], lo cuál sentó las bases del conocido algoritmo RSA [33] para encriptación asimétrica un año después. En 1985 Victor Miller y Neal Koblitz propusieron la utilización de curvas elípticas la encriptación en comunicaciones. Su estructura algebraica es notoriamente más compleja que la mayoría de los criptosistemas anteriores a esta. Sin embargo, su implementación la posiciona entre las más eficientes; capaces de conseguir claves más cortas con el mismo nivel de seguridad [25]. Por ello, se ha implementado esta tecnología en multitud de escenarios: desde monedas virtuales como *Bitcoin* hasta el cifrado de *Whatsapp* [39] trabajan con las propiedades de la criptografía con curvas elípticas.

Es reconocida la potencia de estos sistemas; los cuales, utilizando chips NFC de capacidad reducida, pueden generar un sistema de autenticación seguro aplicable a en escenario real.

1.1. Objetivo

El principal objetivo de este TFG es constatar la capacidad de la criptografía con curvas elípticas de elaborar aplicaciones seguras con dispositivos NFC. Gracias a las propiedades de este tipo de criptosistemas, basados en curvas elípticas, se obtienen implementaciones computacionalmente seguras reduciendo considerablemente el tamaño de las claves a utilizar; ideal para chips NFC los cuales poseen ciertas limitaciones en cuanto a capacidad de almacenamiento. De la mano de la criptografía y la tecnología NFC, se estudiará cuán seguro puede ser una aplicación que utilice estas bases junto a la realización de una aplicación de ejemplo.

2

Elementos teóricos

2.1. Seguridad

Hay ciertas consideraciones básicas a tener en cuenta respecto a la seguridad de la identificación y comunicaciones. Siempre ha sido un elemento primordial el poder identificar el emisor de un mensaje y el contenido no haya sido manipulado.

Existen claros ejemplos de que es un problema al cuál se le han puesto diversas soluciones a lo largo de los siglos en diferentes civilizaciones. Las comunicaciones han sido desde hace milenios un elemento esencial para diferentes objetivos, pese a que, en la mayoría de los casos, la aplicación inicial ha sido bélica. Ganar ventaja sobre un enemigo en cualquier ámbito podría significar la diferencia entre la victoria o la consecución del objetivo o no. La seguridad en las comunicaciones no se encuentra exenta de ello.

El ejemplo más evidente y referenciado en numerosos filmes es el del envío de un mensaje sellado con la marca identificadora del emisor. Esta práctica es conocida hace más de 3.000 años para firmar documentos oficiales por parte de mandatarios. Se habla más en profundidad en el libro de Randall Price: *The stones cry out* [31] sobre las investigaciones y descubrimientos, entre ellos las del arqueólogo Avraham Biran, que corroboran la afirmación de la utilización de sellos identificativos por parte del reinado del rey David en Israel (dicha identificación hace prueba de su existencia, tema controvertido). Básicamente se realizó el mismo procedimiento durante cientos de años: escribir una misiva con contenido sensible, sellar la misiva con una cuña identificativa y entregar el mensaje al destinatario. El sello se suponía único ya que dicha cuña solo se encontraba en posesión de un emisor válido. Al sellarse, se aseguraba la integridad de que el contenido no fuera comprometido si no se rompía el sello. El receptor obtenía la carta con el sello y el mensaje original en su interior, siendo capaz de responder de una forma idéntica si se diera el caso.

Este sistema no era perfecto, pero conseguía grandes resultados en su época ya que la copia de un sello no era tan sencilla como se podría imaginar. Sin embargo, los inconvenientes de su utilización resultan obvios: mensajes entregados erróneamente o capturados durante su trayecto, desconocimiento de la validez del sello, aperturas de la carta por otros medios, tiempo de entrega, validez temporal del mensaje y etcétera.

Con el paso del tiempo cambiaron los canales de comunicación. Los sistemas de comunicaciones dieron pasos de gigante con inventos tales como la telegrafía óptica (emitir mensajes en la distancia mediante la disposición de elementos visibles en diferentes posiciones), la invención del teléfono por parte de Antonio Meucci o el telégrafo por parte de S. Morse. Con ello aumentaron la capacidad, rapidez y la eficacia de las comunicaciones, pese a que por otro lado se producían nuevos problemas de identificación.

Actualmente, hasta las comunicaciones más simples cuentan con protocolos que aseguran que la identidad de las partes implicadas sean veraces y el contenido seguro. No por ello dejan de existir partes malintencionadas que buscan obtener información o adulterarla en base a sus pretensiones; para evitarlo nace la criptografía. La criptografía había sido estudiada (criptología) desde hace siglos, donde va cobrando vital importancia desde sus inicios debido a las aplicaciones para realizar comunicaciones seguras.

2.2. Criptografía

La criptografía (del griego *cripto* (oculto) y *logo* (grafo) o escritura oculta) actualmente 'se encarga del estudio de los algoritmos, protocolos y sistemas que se utilizan para dotar de seguridad a las comunicaciones, a la información y a las entidades que se comunican' [29]. La implementación de criptosistemas (sistemas criptográficos) ha sido utilizada desde las más básicas trasposiciones de caracteres de la época romana hasta los más avanzados de la actualidad con la utilización de propiedades matemáticas avanzadas.

Dentro de los métodos más básicos se encuentran aquellos referidos a la criptografía clásica. Ésta utilizaba en su mayoría la trasposición como elemento de cifrado y descifrado. El algoritmo César, utilizado por Julio César para enviar mensajes secretos [25], constaba únicamente de transformar las letras del mensaje por la letra 3 posiciones a la derecha respecto a su número de orden en un diccionario. Así, la letra *A* se transforma por la *D*, la *B* por la *E*, y así sucesivamente. Contando con un diccionario de 26 letras su definición vendría dada por $C = (M + 3) \bmod 26$. El mensaje cifrado final *M* es la composición de los diferentes caracteres del mensaje *M* transformados en *C*.

En algunos sistemas UNIX se encuentra otro ejemplo de criptografía clásica como lo es ROT13. En el fondo no tiene intenciones criptográficas. Sin embargo, sirve de ejemplo práctico de la idea de cómo se usaba la criptografía en sus inicios. ROT13 es análogo al algoritmo César, en vez de desplazar tres letras al carácter *M* del mensaje original se desplazan trece. Con ésto se consigue realizar un ciclo si se aplica el procedimiento dos veces; la propia función de encriptación es la desencriptación. Así pues, encriptando un mensaje *P* dos veces con ROT13 se obtiene el mensaje original : $P = ROT13(ROT13(P))$.

Durante la segunda guerra mundial cobró gran relevancia la criptografía utilizada por el bando alemán para sus comunicaciones. La máquina que se utilizaban es la conocida *ENIGMA*. Inventado por Arthur Scherbius y Arvid Gerhard Damm [34], basaba su comportamiento en la posición de tres rotores a la hora de escribir con dicha máquina. La posición de los rotores se podía modificar y la fuerza del sistema residía en que la posición de dichos rotores era secreta. La seguridad en este sistema se vio comprometida en varias ocasiones durante la guerra ya que, aunque no era trivial, había que averiguar únicamente la combinación de los rotores. Para evitarlo, el bando alemán cambiaba la posición de los rotores a una nueva, aunque la nueva versión fuera eventualmente descifrada por el bando enemigo una y otra vez.

Con este último ejemplo vemos la fragilidad de un sistema criptográfico si existe una relación directa entre el mensaje cifrado y el descifrado. El matemático Claude Elwood Shannon definió un modelo matemático que describía lo que significa ser seguro para un criptosistema [34]. En este modelo habla sobre la importancia de que la información que brinda un mensaje cifrado no debería aportar nada sobre el mensaje cifrado, esto sería un sistema perfecto. Los mejores criptoanálisis se nutren de esta información que ofrece el mensaje cifrado; por lo que los buenos algoritmos criptográficos buscan que la información que los relaciona sea mínima. Los criptoanalistas aprovechan la redundancia del lenguaje natural para efectuar técnicas como el análisis de frecuencias. Así, también es común utilizar la eliminación de la redundancia antes de encriptar los mensajes.

Otra forma de saber como de seguro es un algoritmo criptográfico es el nivel de entropía (o entropía de Shannon). La entropía refleja la incertidumbre de una fuente de información. Shannon define su entropía como máxima si todos los sucesos son equiprobables [35], si esto se da en un sistema criptográfico significa que tras conocer parte del resultado de la encriptación no hay información que ayude a saber o predecir cuál es el restante. También es importante la clave utilizada y el tamaño y lenguaje que se obtiene al encriptar, contra mayor sea la variedad y el tamaño mínimo generado en un mensaje cifrado, más difícil computacionalmente será calcular el mensaje original. Uniendo la información que brinda un mensaje cifrado sobre el mensaje original junto a una entropía máxima obtenemos un criptosistema seguro; 'esto significa sencillamente que la distribución de probabilidad que nos inducen todos los posibles mensajes en claro cambia si conocemos el mensaje cifrado' [25].

Un criptosistema se define como una quintupla (M, C, K, E, D) descrita a continuación [25]:

- M es el mensaje sin cifrar.
- C es el mensaje cifrado.
- K es el conjunto de claves que emplea el criptosistema.
- E es la función que utilizando K transforma el mensaje M en C .
- D análogo a E es el conjunto de transformaciones de descifrado.

Existen dos tipos de criptosistemas: simétricos y asimétricos. Todo criptosistema simétrico debe cumplir que con un mensaje cifrado C se descripta utilizando la misma clave k empleada a la hora de encriptar el mensaje original M :

$$D_k(E_k(m)) = m \quad (2.1)$$

Por el contrario, un criptosistema asimétrico emplea una clave pública p y otra privada k para encriptar y descriptar respectivamente:

$$D_k(E_p(m)) = m \quad (2.2)$$

A continuación se muestran ciertos protocolos de ambos tipos de criptosistemas.

2.2.1. Protocolos simétricos y asimétricos

Para que las comunicaciones sean seguras se utiliza encriptación. Por lo que es necesario ponerse de acuerdo en la forma de comunicarse. Para la comunicación basada en criptografía simétrica se describe el siguiente protocolo base dado el ejemplo si Alice quisiera enviarle un mensaje a Bob [34]:

- 1 Alice y Bob se ponen de acuerdo en un criptosistema simétrico.
- 2 Alice y Bob se ponen de acuerdo en una clave de cifrado k .
- 3 Alice encripta el mensaje usando el algoritmo de encriptación del criptosistema y la clave acordada. Se genera un mensaje cifrado.
- 4 Alice envía el mensaje cifrado a Bob.
- 5 Bob descripta el mensaje cifrado con el algoritmo de descriptación y la clave y obtiene el mensaje original.

Existiendo un tercer personaje en este ejemplo, Eve, podría intentar entrometerse en la comunicación. Si Eve escuchara el paso 4 del protocolo obtendría el mensaje cifrado. Con ello podría intentar efectuar criptoanálisis y obtener el texto original. Sin embargo, existen implementaciones bastante seguras para evitar exponer la información a ataques de este tipo.

No obstante, Eve sabe que el objetivo en este protocolo sería interponerse en la comunicación para escuchar los puntos 1 y 2. Así, cuando se alcanzara el paso 4 solo tendría que realizar la misma operación que haría Bob para recuperar el mensaje original. Un buen criptosistema debería relegar la seguridad del criptosistema al conocimiento de la clave y no al del algoritmo que se emplea. Por ello, realizar el paso 1 en público no debería ser un problema, sin embargo, el paso 2 para elegir la clave debería ser secreto entre Alice y Bob. Con ello se reutiliza la clave para encriptar y descriptar. Por otra parte, además

de que la clave está comprometida si no se distribuye en secreto, los protocolos simétricos disponen de un problema con el tamaño de las claves: hay una clave disponible para cada comunicación entre los usuarios. Por ejemplo, un sistema de 10 usuarios necesitaría 45 claves válidas distintas (necesitando $n(n-1)/2$ claves para n usuarios). Los protocolos asimétricos buscan solucionar este problema otra forma.

Los protocolos asimétricos o de clave pública disponen de una clave pública por usuario, disponible a todo el mundo, y una clave privada personal que no se comparte con nadie. En este protocolo, Alice posee una clave pública que es conocida por Bob y otra clave privada que no es conocida por nadie más que Alice y viceversa. Por lo que las acciones quedarían de la siguiente forma :

- 1 Alice y Bob se ponen de acuerdo en un criptosistema de clave pública.
- 2 Alice consulta la clave pública de Bob k .
- 3 Alice encripta el mensaje usando el algoritmo de encriptación del criptosistema y la clave privada de Bob. Se genera un mensaje cifrado.
- 4 Alice envía el mensaje cifrado a Bob.
- 5 Bob desencripta el mensaje cifrado con el algoritmo de desencriptación y la clave privada y obtiene el mensaje original.

Ahora Eve no es capaz de desencriptar el mensaje ya que para ello necesita la clave privada de Bob. Las claves públicas de cada uno de los usuarios se pueden disponer en cualquier lugar de acceso público. Lo único que puede hacer es encriptar un mensaje con la clave pública de un usuario y éste será el único que pueda desencriptarlo. El problema que tiene este tipo de sistemas es la distribución de claves, que ha de ser privado.

También existen sistemas híbridos que utilizan un protocolo asimétrico para acordar una clave y luego utilizar ésta para realizar la encriptación y desencriptación como se haría en un protocolo simétrico. Nuevamente, la idea principal es salvaguardar la clave utilizada para desencriptar el mensaje, para ello, los criptosistemas utilizan algoritmos basados en propiedades matemáticas que aseguran una complejidad muy elevada (teóricamente imposible) para obtener dicha clave. El problema del logaritmo discreto es un ejemplo de propiedades matemáticas que utilizadas en los criptosistemas más seguros.

2.2.2. Problema del logaritmo discreto

Muchos de los criptosistemas utilizan exponenciaciones con magnitudes enormes. Tanto la base como el exponente pueden ser de cientos de bits de longitud y usualmente primos para evitar la factorización. Así pues, el calculo del valor resultante de esas exponenciaciones requiere de algoritmos eficientes como el de *square-and-multiply* [8].

Por otro lado, la operación inversa a la exponenciación es el cálculo de logaritmos discretos.

Dados dos números a , b y el módulo n , se define el logaritmo discreto de a en base b módulo n como [25]:

$$c = \log_b(a) \pmod{n} \Leftrightarrow a \equiv b^c \pmod{n} \quad (2.3)$$

No existen algoritmos eficientes que computen estos logaritmos de estas características en tiempo razonable, lo cuál hace que sea una propiedad base para la robustez del sistema de numerosos sistemas criptográficos.

2.2.3. Criptología con curvas elípticas - ECC

Definición: Una curva elíptica sobre los números reales \mathbb{R} es el conjunto de puntos del plano (x, y) que cumplen la siguiente ecuación [34]:

$$y^2 = x^3 + ax + b \quad (2.4)$$

Con los puntos de la curva dados por la ecuación anterior (evitando singularidades con los valores $a = 4$ y $b = 27$), junto a un punto en el infinito O y la operación de suma se denomina grupo de curva elíptica $E(\mathbb{R})$. La visualización gráfica de una curva elíptica es la mostrada en la figura 2.1

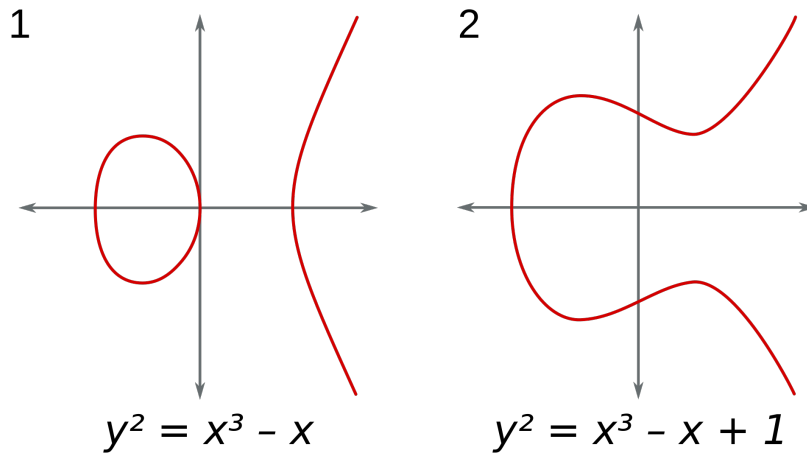


Figura 2.1: Visualización de las curvas elípticas más representativas.

Un cuerpo finito de *Galois* $GF(n)$ es un cuerpo finito generado por n , siendo n primo [25]. Por lo que se forman pares de polinomios de grado $n - 1$ con coeficientes binarios, fácilmente representables por cadenas de bits [25].

$$y^2 + xy = x^3 + ax^2 + b \quad (2.5)$$

No vamos a entrar en detalle cómo es la suma de puntos en una curva elíptica. Pero podemos observar visualmente cómo se realizan estas operaciones con puntos P, Q y el uso del punto en el infinito O en la figura 2.2. En la figura se muestra cómo se calcula la recta que une los puntos a sumar, el uso de la tangente para sumas con el mismo punto y sus relaciones con el punto en el infinito.

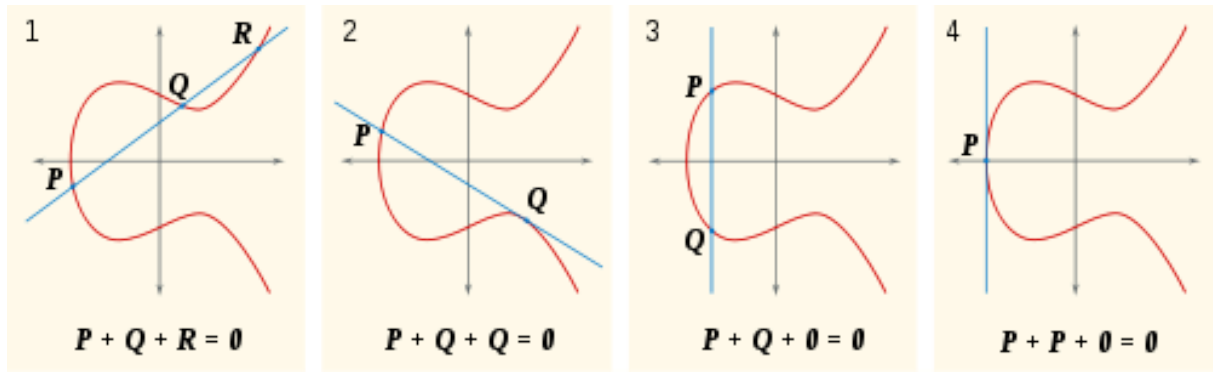


Figura 2.2: Suma de puntos en una curva elíptica.

Si disponemos de un punto Q perteneciente a un conjunto de la suma de un punto P tantas veces como permita el campo finito definido, debe existir un número entero k tal que $kP = Q$. 'El Problema de los logaritmos discretos en curvas elípticas consiste precisamente en hallar el número k a partir de P y Q . Hasta ahora no se ha encontrado ningún algoritmo eficiente (subexponencial) para calcular el valor de k . Este problema puede ser empleado con éxito para el desarrollo de algoritmos criptográficos de llave pública.' [25].

El uso de criptosistemas con curvas elípticas emplea claves de un tamaño reducido respecto a otros sistemas de encriptación asimétricos considerados seguros. A su vez, para tener un sistema seguro durante todo el siglo XIX y con una evolución de la tecnología siguiendo la ley de Moore triple (cada año la capacidad computacional aumenta el triple), se recomienda utilizar sistemas simétricos de 135bits de tamaño de claves y asimétricos de 1550bits (siguiendo las teorías del matemático Arjen K. Lenstra en su documento [24]). Sin embargo, para curvas elípticas recomiendan tamaños de claves de 270 bits . La ventaja de la criptografía de las curvas elípticas es considerable evitando utilizar únicamente un sistema simétrico [1].

Esto es corroborado por los autores Steven D. Galbraith y Pierrick Gaudry elaboraron el documento [13] en el cuál estudian los problemas computacionales relacionados con el problema del logaritmo discreto y su relación con las curvas elípticas. A su vez, también comentan ataques de criptoanálisis para diferentes definiciones de curvas elípticas (paso de gigante paso de niño o el algoritmo *lambda* de Pollard entre otros).

2.3. Tecnología NFC

La tecnología NFC o *Near Field Communication* es un sistema de comunicación entre dispositivos basado en radiofrecuencia, que deriva de la tecnología *RFID* (*Radio Frequency IDentification*), definido los protocolos en los estándares ISO/IEC 14443 AB y JIS-X 6319-4 [11]. El protocolo utilizado se basa en el *RFID* definido en ISO-14443 [22]. El chip NFC contiene la capacidad de información limitada del orden de 64 *bytes* a los 4Kb de los chips NFC *MIFARE Classic 4k*. Fundado por grandes marcas en el 2004 y que ahora incluyen cientos de miembros.

La lectura del contenido se realiza mediante la inducción de un campo magnético del dispositivo de lectura al chip contenedor de la información. Algunos dispositivos NFC pueden trabajar en dos modos diferentes:

- Activo: Ambos dispositivos generan un campo electromagnético para transmitir.
- Pasivo: Solo un dispositivo genera un campo electrico que aprovecha el otro para transmitir.

Funciona en la banda de frecuencia 13.56Mhz por lo que no está vinculado a ninguna normativa de uso ni restricción. También son capaces de transmitir a una velocidad de 424 kbps [11]. Estos chips ha conquistado numerosos ámbitos debido a la utilidad que proveen a la hora de comunicar información con costes muy reducidos y elementos fácilmente transportables.

3

APP: Autenticación en un sistema ficticio

3.1. Introducción

Anteriormente se han explicado los conocimientos y términos generales relacionados con la seguridad en la autenticidad NFC basada en criptología con curvas elípticas. A continuación se muestra la aplicación de dichos conocimientos en un proyecto software experimental. El objetivo es demostrar la capacidad de los dispositivos NFC para, de la mano de la criptografía con curvas elípticas, llegar a desarrollar un sistema de autenticación eficiente y fiable.

Tanto los nombres, librerías, herramientas, así como el resto del material utilizado se describirán a continuación. A su vez, siguiendo un estándar de desarrollo software basado en metodologías ágiles, se mostrará la utilizada para éste proyecto. Para ello, el autor y director de este TFG (Fidel Abascal y Domingo Gómez) hemos actuado y ejercido tanto de cliente como de contratado para el desarrollo de la aplicación.

Dentro de un ámbito ficticio, se plantea una empresa llamada **Alpha - Consultora S.A.**^{*}, nueva potencia local dentro del campo de la seguridad bancaria, que ha cosechado unos excelentes resultados a lo largo de sus 2 años de existencia. Cuenta con más de 40 trabajadores y su crecimiento y expansión es notoria. Tanto es el éxito de esta compañía que, para dar cabida a su plantilla, ha decidido trasladarse a una nueva sede más moderna, amplia y mejor ubicada. La empresa, antes de instalarse en la nueva sede, decide contratar a unos expertos en seguridad para gestionar el control de accesos mediante un sistema de tarjetas y lectores en las entradas; teniendo en cuenta una inversión mínima pero garantizando un alto grado de seguridad.

^{*}Cualquier similitud con la realidad es mera coincidencia

Tras buscar incesantemente recurren a la empresa **F-NFC**. Una vez realizado el estudio por parte de F-NFC, se pone en consonancia un acuerdo para elaborar una aplicación que genere información que autentique a un usuario de la empresa *Alpha* y sea reconocido de forma unívoca para permitir su acceso a la sede. La infraestructura de la empresa propietaria de la nueva sede corresponde a la figura 3.1.

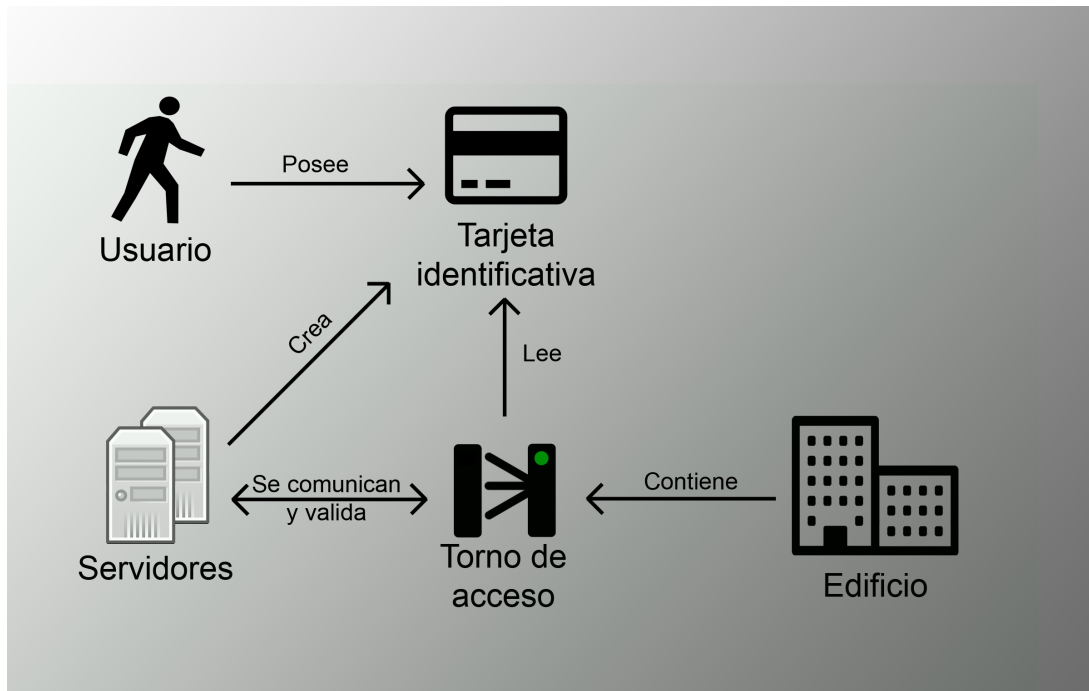


Figura 3.1: Infraestructura del sistema ficticio.

Los detalles de implementación de la aplicación seguirán un objetivo didáctico y experimental que cumplirán los requerimientos de la situación propuesta; adecuándose a la carencia real de la infraestructura anteriormente mencionada. Se explicará en las secciones siguientes en detalle todos los puntos implicados en la consecución de este objetivo. Más concretamente en el apartado de escenario de la aplicación 3.4.

3.2. Materiales y tecnologías utilizadas

Para el desarrollo del proyecto se ha utilizado, ante todo, software de carácter libre junto a imágenes, textos, estructuras y contenido sin restricciones de uso. Ya sea debido al tipo de licencia de cada elemento o por ser de autoría propia.

El desarrollo se ha realizado en el lenguaje de programación *Java* con el kit de desarrollo *Java* (JDK) 1.8.65 (*Java 8 update 65*) de *Oracle Corporation* [5].

El entorno de desarrollo integrado o *IDE* de la aplicación es el oficial de Google para el desarrollo para dispositivos *Android*: *Android Studio*, versión 1.5.1 [18]. Este programa provee las herramientas básicas de desarrollo; entre ellas, un administrador de los kit de desarrollo o *SDKs* para las diferentes versiones y varios elementos descritos a continuación:

- Plataformas SDK
 - API 22: Para la versión Android 5.1.1.
- Herramientas SDK
 - Android Build Tools : Para la construcción de la aplicación.
 - Android SDK Platform Tools v23.1: Soporte para el desarrollo.
 - Librería de ayuda Android, rev 23.2.1; y repositorio rev 30: Ayudas en la retrocompatibilidad de elementos de interfaz de usuario.
 - Google USB Driver, rev 11 : Conexión entre el servicio de ejecución de la aplicación y los dispositivos USB.
 - Intel x86 HAXM, rev 6.0.1 : Aceleración *hardware* para la emulación.

Estos componentes de *Android Studio* hacen posible el desarrollo de la aplicación objetivo. Este programa, con carencias notorias en ciertos apartados, ha hecho complicado, de cierta forma, la selección de componentes a instalar, versiones, etcétera debido a diversos motivos de compatibilidades de librerías y actualizaciones desfasadas entre los componentes y el propio IDE.

La esencia de la aplicación reside en la criptografía mediante curvas elípticas. Para la implementación de ello ha sido necesario utilizar una librería externa llamada *Bouncy Castle* [27] versión 1.54. Dicha librería suple las deficiencias de la implementación base de la propia API (*Application Programming Interface*) de *Java* en su paquete de *java.security* [4]. La cual tiene limitaciones claras a la hora de la generar curvas elípticas. Gracias a ésta librería se ha podido realizar la parte crítica de la aplicación con una mejora de rendimiento notoria si se tuviera que haber utilizado únicamente la API de *Java*.

Respecto al almacenaje de datos se ha optado por utilizar una pequeña base de datos en *SQLite* [36] descrita más adelante. Ésta base de datos se utiliza para el almacenamiento de unos pequeños registros que utiliza la aplicación. El uso de una base de datos de mayor capacidad y funcionalidades no se ha contemplado factible.

En cuanto a los elementos gráficos de la aplicación, un alto porcentaje son de elaboración propia mediante programas de edición de imágenes. El resto son de libre uso comercial. La iconografía de la aplicación es autoría de *Google Inc.* [20]. Dichos iconos han de ser vectoriales debido a la optimización del tratamiento de imágenes y su renderizado, por lo que en este aspecto, *Google* provee estos iconos en formato *SVG* (*Scalable Vector Graphics*) y *PNG*; también *Android Studio* contiene iconografía de forma nativa pero no actualizada. A la hora de incluir estos elementos externos se ha transformado las descripciones vectoriales *SVG* en formato *XML* (*eXtensible Markup Language*) interpretable de forma sencilla por *Android Studio* y fácilmente modificables en los casos que se ha requerido. En el apartado 3.6 de diseño y aspecto de la aplicación se comenta en detalle el resto de la disposición, motivación y elaboración gráfica de la aplicación.

La API objetivo del proyecto *Android* ha sido la número 22. Desarrollada para la versión

5.1. (*LOLLIPOP MR1*). Se ha decidido utilizar esta API debido a las mejoras sustanciales en cuanto al trabajo del adaptador NFC implementadas desde la versión 5.0 [16] y mejoradas en ésta [17].

Para el testado de la aplicación *Android Studio* se dispone de la tecnología *AVD* para la virtualización de dispositivos *Android*. Sin embargo, el rendimiento es pobre en comparación con el testeo y *debug* en un dispositivo físico. Por lo que se ha utilizado un dispositivo *Android smartphone One Plus One* de la compañía americana *Never Settle*, el cuál dispone de la versión *Android 5.1.1* y *Cyanogen OS 12.1.1* en el momento de la elaboración de la aplicación.



Figura 3.2: Smartphone One Plus One - Never Settle

Por último, el proyecto ha necesitado de dos elementos físicos principales: el dispositivo *Android* mencionado anteriormente y de tarjetas NFC. Debido a la carencia de un presupuesto, se ha optado por utilizar etiquetas adhesibles (desde ahora NFC-T) de bajo coste. Se trata del chip *NTAG213* que siguen el estándar ISO 14443-3 [22]. Las características de estas etiquetas son las siguientes:

- Tipo de etiqueta : ISO 14443-3A.
- Descripción : NXP MIFARE Ultralight (Ultralight C) - NTAG213.
- Tecnología : NfcA, Ndef, MifareUltralight y formato NFC Forum Type 2.
- Diámetro: 25 mm.
- Identificadores del chip.
 - Valor ATQA: 0x0044.
 - Valor SAK: 0x00.
 - Firma: NXP Public Key.

- Tamaños y capacidad.
 - Memoria: 45 páginas de 4bytes por página (180 bytes).
 - Tamaño: 137 bytes.
 - *UID* (Identificador del contenido): 7 bytes [11].
 - *Byte 7*: Valor *UTF-8*, codificación.
 - *Byte 6*: Valor 0, reservado para uso futuro.
 - *Byte 5-0*: Tamaño del código del lenguaje *IANA*.
 - Tamaño utilizable: 130 bytes (Tamaño menos *UID*).

Estas etiquetas se pueden adherir en una superficie que le haga de soporte. Por ejemplo, se podría plastificar junto a dos tapas que cubran el chip y tener la apariencia de una tarjeta común. En la figura 3.3 se muestra una de estas etiquetas.



Figura 3.3: NFC Tag - NTAG213

Hubiera sido preferible utilizar chips *MIFARE* [26] que tienen mayor capacidad y con mayores funcionalidades como los chips *MIFARE classic* 1K y 4K del productor *NXP*. Estos chips están implementados en una enorme cantidad de aplicaciones en todo el mundo, un ejemplo claro de su uso son en las tarjetas de transporte o las tarjetas de crédito y la mayoría de chips NFC actuales que impliquen la necesidad de autenticación con encriptación (RSA comúnmente) y seguridad. En estas tarjetas es realmente complicado acceder a su contenido ya que se precisan ciertas claves para la lectura y decodificación. Sin embargo, en las utilizadas en este proyecto, se escribe en texto plano (siguiendo el objetivo didáctico); en el apartado de seguridad y criptología 3.7 se explica cómo afectaría esta carencia al sistema final.

Todos los elementos descritos en este apartado conforman lo necesario para simular la estructura descrita en la figura 3.1 y la implementada definida en el apartado 3.4.

3.3. Metodología

Se ha decidido implementar una metodología de desarrollo software basada en iteraciones de funcionalidades de forma incremental. Para una planificación estructurada se han programado los hitos y la consecución de tareas a completar en cada hito de validación.

Gracias a la herramienta Gantt [38] para la elaboración de diagramas de planificación de proyectos, se han propuesto gráficamente la duración de cada tarea valorando su dificultad y las posibles modificaciones que hubieran podido surgir de las mismas en cada hito de validación. La duración de cada tarea implica los días necesarios para su finalización; sin tener relación con las horas laborales ya que, aunque no venga reflejado, se ha realizado trabajo en días no laborables. En las figuras 3.4, 3.5 y 3.6 se observa la organización inicial planteada. Cada apartado principal de la aplicación precedida de un hito se considera una iteración incremental del proyecto para adecuarse a la metodología planteada.



Nombre	Fecha de inicio	Fecha de fin
Base	23/02/16	29/02/16
Entorno	23/02/16	26/02/16
Estructura	29/02/16	29/02/16
Componentes iniciales	29/02/16	29/02/16
Diseño	1/03/16	2/03/16
Logo	1/03/16	1/03/16
Paleta de colores	2/03/16	2/03/16
Estilo	2/03/16	2/03/16
Validación	3/03/16	3/03/16
BBDD	3/03/16	4/03/16
Definición	3/03/16	3/03/16
Valores predeterminados	3/03/16	4/03/16
Validación	7/03/16	7/03/16
Portada	7/03/16	7/03/16
Menú lateral	8/03/16	9/03/16
Acerca de	10/03/16	10/03/16
Validación	11/03/16	11/03/16
Administración	11/03/16	7/04/16
Base de Datos	11/03/16	14/03/16
Sistema	15/03/16	28/03/16
Validación	29/03/16	29/03/16
Nuevo Usuario	29/03/16	4/04/16
Listado de usuarios	5/04/16	7/04/16
Validación	8/04/16	8/04/16
Verificación NFC	8/04/16	21/04/16
Validación	22/04/16	22/04/16
Pruebas	22/04/16	27/04/16
Despliegue	28/04/16	29/04/16

Figura 3.4: Diagrama Gantt - Subdivisión de elementos de la aplicación para su desarrollo

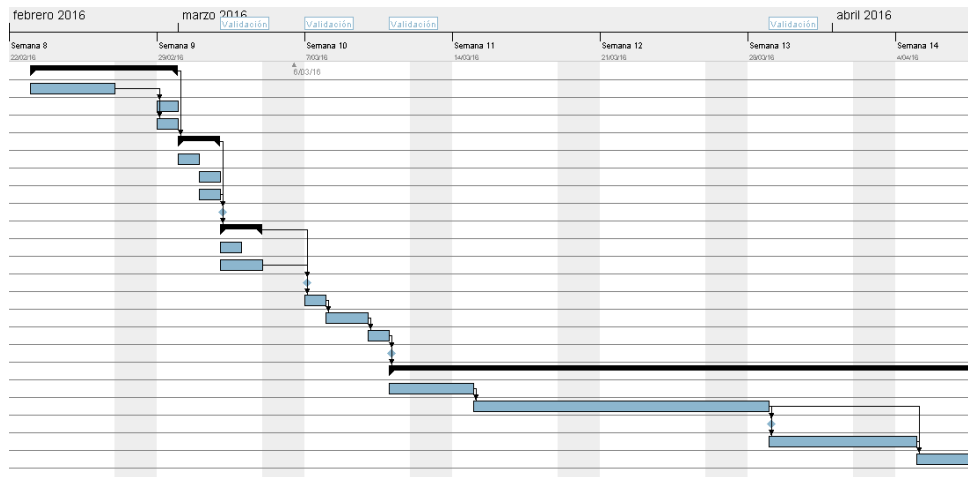


Figura 3.5: Diagrama Gantt : Visualización (I).

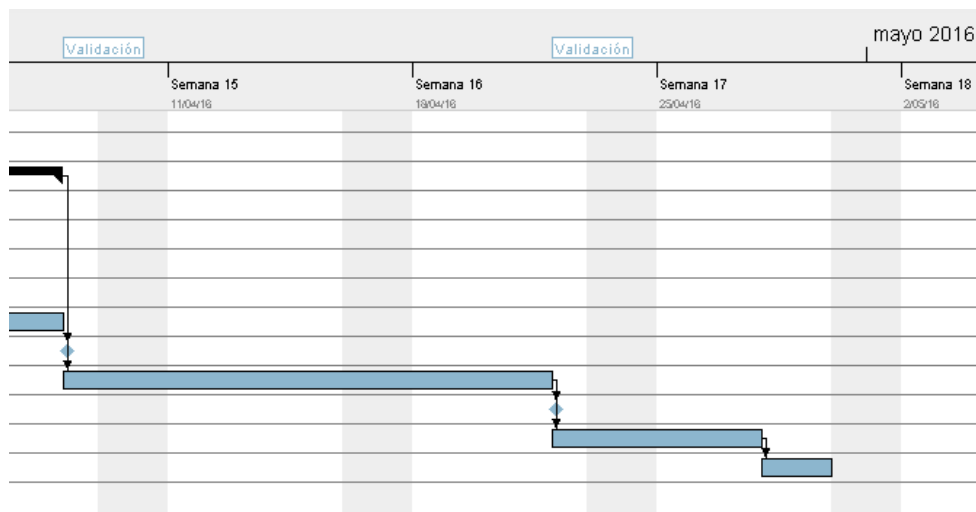


Figura 3.6: Diagrama Gantt : Visualización (II).

Como se puede observar, la duración final del proyecto ha sido de 10 semanas aproximadamente. Con pequeñas variaciones, los hitos se han ido finalizando satisfactoriamente hasta comprobar que todas las tareas y partes del proyecto se han completado correctamente. A esta planificación habría que añadir el tiempo previo necesario para el estudio y preparación para el uso de las herramientas y la tecnología utilizada.

3.4. Escenario

La idea principal del escenario de la aplicación se ha comentado en el apartado 3.1, en donde se comenta que el objetivo de la aplicación es meramente didáctico y experimental. Alejándose de los modelos pragmáticos del desarrollo profesional.

La complejidad añadida de implementar un sistema cercano a la realidad aplicaría un coste elevado de recursos sin tener relevancia notoria en la finalidad comentada; elementos

tales como: servidores, *WebServices*, *frameworks* de desarrollo, certificación, optimización, etcétera. Dado que la esencia de este TFG se centra en el elemento teórico y didáctico de la criptología en curvas elípticas, la creación de una aplicación de carácter altamente profesional le añadiría beneficios nimios, los cuales no compensan la complejidad agregada. Por tanto, se han realizado labores de simulación y ciertas partes que se han considerado prescindibles han sido descartadas.

La arquitectura de la aplicación representada en la figura 3.1 muestra un escenario típico que da pie a la implementación de este tipo de seguridad. Dentro de este proyecto virtual se dispone de un edificio el cuál posee tornos o puertas de acceso. Estas puertas son capaces de leer el contenido de las tarjetas NFC de cada usuario del sistema. El contenido de las tarjetas se transmite a los servidores de validación de la empresa (sin la necesidad de que se encuentren físicamente dentro del mismo edificio). Los servidores validarán la información recogida en el torno de acceso y aceptará o no el contenido. Si resulta validado el contenido, el torno recogerá de los servidores la nueva información a escribir en la tarjeta para hacer válida el paso la próxima vez. Finalmente, el usuario por medio de ésta tarjeta unipersonal podrá acceder al edificio autenticándose en la entrada.

Descrito el escenario virtual, es necesario comentar el escenario real del proyecto se ha realizado. Contando con los elementos del apartado 3.2 se agrupan las funcionalidades del escenario virtual en el dispositivo *Android*. Por lo tanto, no hay conexiones a elementos externos y toda la estructura se compone únicamente del dispositivo *Android* y las tarjetas NFC. A su vez, cuenta con las siguientes funciones que simulan las labores del escenario virtual:

- Información sobre los usuarios del sistema: En lugar de contar con un acceso a una base de datos que recoja la información, se utiliza una pequeña base de datos dentro del dispositivo que contiene la información básica de los usuarios (identificador y nombre del usuario).
- Información del sistema de encriptación: El dispositivo también contiene la información básica del criptosistema implementado (labor de información de servidores).
- Validación: Tras leer el contenido de la tarjeta NFC, denegará o validará la información obtenida (labor de validación y acceso).
- Funciones de administración del sistema: El dispositivo es capaz de restaurar los valores por defecto del sistema, junto a la información inicial. También permite crear nuevas definiciones del sistema de seguridad. Por último, también asignará usuarios al sistema de seguridad que no se encuentren dentro (labor de creación de tarjetas).

Gracias a esta implementación del escenario virtual se han conseguido ventajas importantes, tales como: ser eficiente por no depender de elementos externos, utilizable para dispositivos móviles, portable al estar realizado en *Java* y fácilmente modificable.

Todos los elementos de información se describen en el apartado 3.8 sobre la base de datos de la aplicación; y las funcionalidades del sistema dentro del apartado 3.5 de requisitos y funcionalidades.

3.5. Requisitos y funcionalidades

La toma de requisitos, especificaciones y funcionalidades de la aplicación real, que cumple con los simulados en el contexto virtual descrito en la introducción 3.1, se ha llevado a cabo mediante constantes reuniones entre las partes implicadas (dentro del escenario real, véase el apartado 3.4).

Siguiendo la metodología ágil basada en iteraciones comentada en el apartado 3.3, desde el primer momento se ha ido mostrando el avance del proyecto al cliente (en ambos escenarios: virtual y real). Éste ha aceptado según sus requerimientos iniciales o ha concretado cambios que se adecuen en el marco de las funcionalidades principales. Iteración a iteración se han ido realizando los pasos siguiendo hitos a validar. El diagrama *Gantt* mostrado en la figura 3.4 muestra en detalle la división de las tareas y apartados del proyecto realizado en este TFG.

Cada una de las tareas a realizar han seguido el objetivo de los casos de uso referidos a las funcionalidades de la aplicación. Los casos de uso de la aplicación se muestran en la figura 3.7, realizada mediante la herramienta *online* gratuita para la creación de diagramas UML de este tipo: *yUML* [30].

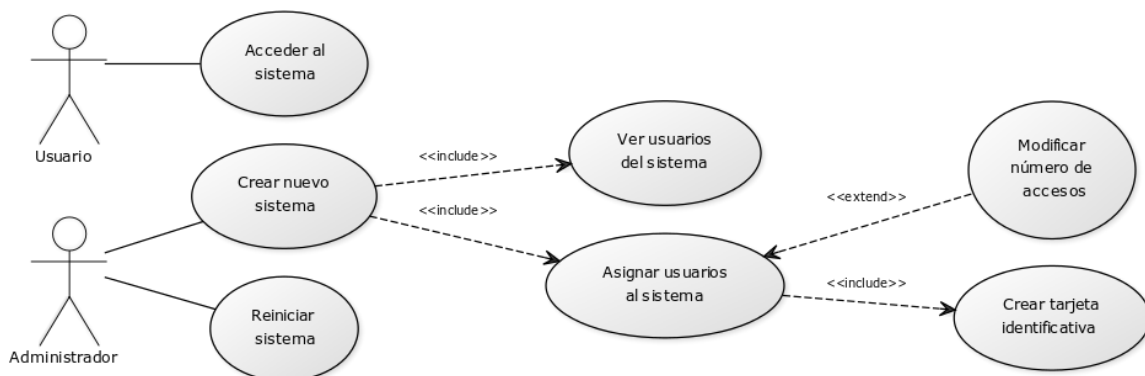


Figura 3.7: Casos de uso

Los casos de uso, cumpliendo las funcionalidades acordadas con el cliente, se corresponden con los requisitos funcionales de la aplicación y la infraestructura de la aplicación referida en la figura 3.1:

- Usuario
 - RF01 - Un usuario, supuesto trabajador de la empresa, poseedor de una tarjeta de identificación proveída por la administración del sistema, es capaz de autenticarse.
- Administrador
 - RF02 - La administración del sistema define las características del criptosistema que utiliza la aplicación.

- RF03 - Puede restaurar la información a los valores por defecto.
- RF04 - Puede ver los usuarios pertenecientes al sistema.
- RF05 - Es capaz de asignar usuarios al sistema creando las tarjetas identificadores.
- RF06 - Valida la información recogida de cada tarjeta y sobrescribe con la nueva información acorde al criptosistema empleado.

Como requisitos no funcionales se definen principalmente los siguientes:

- Plataforma: Se utiliza un dispositivo *Android* que cumpla las funciones de administración y validación.
- Criptosistema: Compuesto por criptografía con curvas elípticas de alta seguridad y el sistema *SKEY* para validaciones de un solo uso (*véase apartado sobre 3.7 la seguridad de la aplicación*). La plataforma utilizada puede modificar la curva elíptica implementada por el criptosistema.
- Elementos identificativos: Las tarjetas NFC contendrán la información asignada por el criptosistema. La información se escribirá a la hora e la asignación del usuario al sistema o en el momento de una validación correcta.

Las definiciones en profundidad de estos casos de uso se muestran a continuación.

Caso de uso	Acceder al sistema
<i>Actor principal:</i>	Usuario/Empleado
<i>Stakeholders e interesados:</i>	<ul style="list-style-type: none"> ■ Usuario/Empleado: Validar su identidad para acceder a las instalaciones de la empresa. ■ Empresa: Autenticar inequívocamente a quienes acceden a emplazamiento de la empresa.
<i>Precondiciones:</i>	<ul style="list-style-type: none"> ■ El usuario dispone de una tarjeta NFC creada por el sistema. ■ La aplicación se encuentra instalada en el dispositivo <i>Android</i>. ■ La aplicación posee un sistema de seguridad desplegado. ■ El dispositivo cuenta con la tecnología NFC y en estado activo.

<i>Postcondiciones:</i>	<ul style="list-style-type: none"> ■ La aplicación valida el contenido de la tarjeta NFC e informa al usuario del resultado. ■ La aplicación reescribe la tarjeta NFC preparándola para su siguiente uso.
<i>Escenario principal de éxito:</i>	<ol style="list-style-type: none"> 1 Se inicia el dispositivo. 2 Se aproxima la tarjeta NFC al terminal para la lectura del contenido. 3 La aplicación muestra un mensaje de validación confirmada y escribe el contenido oportuno para la próxima ocasión.
<i>Extensiones:</i>	<ol style="list-style-type: none"> 1 Se inicia la aplicación: <ol style="list-style-type: none"> 1. Se despliega el menú 2. Se selecciona la opción Verificar NFC 2 Se aproxima una tarjeta NFC que no es del tipo correcto o el contenido es vacío: <ol style="list-style-type: none"> 1. La aplicación muestra un mensaje de aviso 2. Vuelta al paso 1 del escenario principal. 3 Datos de la tarjeta NFC incorrectos: <ol style="list-style-type: none"> 1. El sistema muestra el de validación incorrecta. 2. Vuelta al paso 1 del escenario principal.
<i>Frecuencia de ocurrencia:</i>	Cada vez que un usuario del sistema desee autenticarse mediante su tarjeta NFC.
Caso de uso	Crear nuevo sistema
<i>Actor principal:</i>	Administrador
<i>Stakeholders e interesados:</i>	<ul style="list-style-type: none"> ■ Administrador: Definir un nuevo sistema de seguridad suplantando al actual.

Precondiciones:

- La aplicación se encuentra instalada en el dispositivo *Android*.
- La aplicación posee un sistema de seguridad desplegado.

Postcondiciones:

- La aplicación implementa una nueva definición del sistema utilizado. Cambiando las características de la curva elíptica a emplear en el futuro.
- No hay nuevos usuarios asignados en el nuevo sistema.

Escenario principal de éxito:

- 1 Se inicia el dispositivo.
 - 2 Se inicia la aplicación.
 - 3 Se abre el menú lateral.
 - 4 Se selecciona la opción Despliegue.
 - 5 Se selecciona la definición de una curva elíptica utilizando el desplegable.
 - 6 Se pulsa en crear.
 - 7 Se muestra un cuadro de confirmación.
 - 8 Tras aceptar, se prepara el sistema para asignar nuevos usuarios con la nueva definición.
-

Extensiones:

4 Se pasa directamente al punto 6 del escenario principal:

1. La definición por elegida es la listada por defecto.

7 Pulsar en Cancelar:

1. Se cierra el cuadro de confirmación.
2. Se vuelve al punto 4 del escenario principal.

8 Error en la creación del sistema:

1. Se muestra un mensaje de error
2. Vuelta al paso 4 del escenario principal.

Frecuencia de ocurrencia: Cada vez que se desee reiniciar los datos de la aplicación con una nueva definición de seguridad.

Caso de uso	Reiniciar sistema
<i>Actor principal:</i>	Administrador
<i>Stakeholders e interesados:</i>	<ul style="list-style-type: none"> ■ Desarrollador: Revertir todos los cambios respecto a la definición por defecto.
<i>Precondiciones:</i>	<ul style="list-style-type: none"> ■ La aplicación se encuentra instalada en el dispositivo <i>Android</i>. ■ La aplicación posee un sistema desplegado.
<i>Postcondiciones:</i>	<ul style="list-style-type: none"> ■ La aplicación recupera la implementación del sistema por defecto.

Escenario principal de éxito:

- 1 Se inicia el dispositivo.
- 2 Se inicia la aplicación.
- 3 Se abre el menú lateral.
- 4 Se selecciona la opción Despliegue.
- 5 Se selecciona la pestaña de Base de datos.
- 6 Se pulsa en el botón Restaurar Base de Datos.
- 7 Se muestra un cuadro de confirmación.
- 8 Tras aceptar, se recupera el sistema por defecto.

Extensiones:

- 7 Pulsar en Cancelar:
 1. Se cierra el cuadro de confirmación.
 2. Se vuelve al punto 5 del escenario principal.
- 8 Error en la restauración del sistema:
 1. Se muestra un mensaje de error
 2. Vuelta al paso 5 del escenario principal.

Frecuencia de ocurrencia: En cualquier momento que se desee.

Caso de uso	Ver usuarios del sistema
<i>Actor principal:</i>	Administrador
<i>Stakeholders e interesados:</i>	<ul style="list-style-type: none"> ■ Administrador: Listar la información de los usuarios del sistema.
<i>Precondiciones:</i>	<ul style="list-style-type: none"> ■ La aplicación se encuentra instalada en el dispositivo <i>Android</i>. ■ La aplicación posee un sistema desplegado.
<i>Postcondiciones:</i>	<ul style="list-style-type: none"> ■ La aplicación muestra los usuarios activos del sistema .

Escenario principal de éxito:

- 1 Se inicia el dispositivo.
 - 2 Se inicia la aplicación.
 - 3 Abrir el menú lateral.
 - 4 Seleccionar la opción Ver Usuarios.
 - 5 Se lista la tabla con la información de seguridad de los usuarios activos en el sistema.
-

Extensiones:

- 4 No hay usuarios activos en el sistema:
 1. Se muestra un mensaje indicándolo
-

Frecuencia de ocurrencia: En cualquier momento que se desee.

Caso de uso	Asignar usuarios al sistema
<i>Actor principal:</i>	Administrador
<i>Stakeholders e interesados:</i>	<ul style="list-style-type: none"> ■ Administrador: Crear (escribir) tarjetas NFC para autenticar dentro del sistema generado a un empleado de la empresa. ■ Usuario/Empleado: Obtener una tarjeta NFC con el contenido adecuado.

Precondiciones:

- La aplicación se encuentra instalada en el dispositivo *Android*.
- La aplicación posee un sistema desplegado.
- El dispositivo cuenta con la tecnología NFC y en estado activo.
- La tarjeta NFC objetivo contiene información por defecto (no está vacía) para evitar fallos de escritura.
- La aplicación dispone de un listado de usuarios generales de la empresa.

Postcondiciones:

- Se vuelca el contenido de autenticación de un usuario recién añadido al sistema a una tarjeta NFC.
-

Escenario principal de éxito:

- 1 Se inicia el dispositivo.
 - 2 Se inicia la aplicación.
 - 3 Pulsar en abrir el menú lateral.
 - 4 Seleccionar la opción Nuevo Usuario.
 - 5 Seleccionar un usuario que no esté asignado al sistema actual.
 - 6 Pulsar el botón Continuar.
 - 7 Se muestra un mensaje de confirmación.
 - 8 Un mensaje de de información indica que la aplicación está preparada para escribir en la tarjeta. Se acerca la tarjeta para escribir.
 - 9 La aplicación ha escrito correctamente la información en la tarjeta NFC.
-

Extensiones:

7 Pulsar en Cancelar:

1. Se cierra el cuadro de confirmación.
2. Se vuelve al punto 5 del escenario principal.

8 Fallo al escribir:

1. Se muestra un mensaje indicando el fallo de escritura.
2. No se añade el usuario al nuevo sistema.
3. Se prepara la escritura nuevamente, paso al punto 8 del escenario principal.

Frecuencia de ocurrencia: Cuando se requiera asignar un usuario al sistema.

3.6. Diseño y aspecto

La aplicación cuenta con un contenedor principal que ocupa la visión principal del dispositivo. En la parte superior dispone de barra principal de la aplicación que contiene el título de cada apartado y un acceso al menú. El menú se muestra desde la parte izquierda ocupando gran parte de la pantalla. Contiene una cabecera de menú y el listado de apartados de la aplicación.

Principalmente estos elementos son los que definen el diseño principal de la aplicación. La disposición sigue las normas básicas para el diseño de una aplicación *Android* utilizando *material design* de Google [19]. Tanto la sombra de la barra principal, la sombra de fondo al mostrar el menú, el menú que se superpone a la barra principal y por debajo de los indicadores del dispositivo, la organización de los elementos del menú, el espaciado entre los elementos, la iconografía y demás elementos siguen en su mayoría las indicaciones de *material design*. En la figura 3.8 se puede apreciar gran parte de estos elementos de diseño.

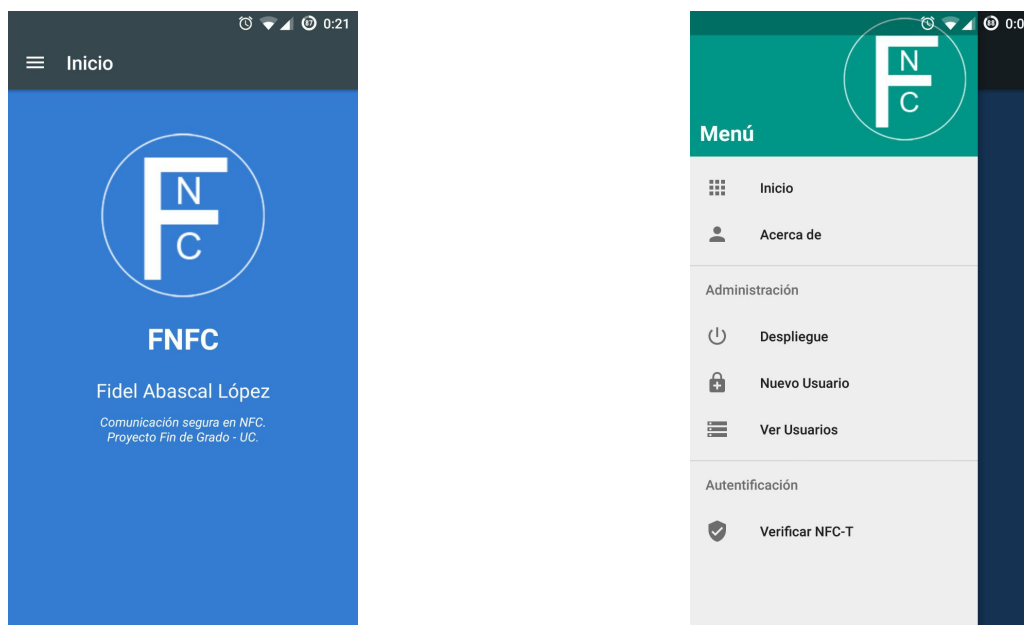


Figura 3.8: Elementos de diseño: Muestra de la disposición espacial del menú y estructura básica de la aplicación

Es oportuno mencionar la paleta de colores utilizada, tanto para el fondo como para las acentuaciones o el color primario y su homónimo oscuro :

- Color primario: #009688 .
- Color primario oscuro: #37474f .
- Color acentuado: #ff4081 .
- Color base principal: #367cd3 .

Se han elegido manteniendo la relación de colores de *material desing* y siguiendo normas conocidas de *marketing* y presentación de elementos visuales a consumidores. En estas normas y patrones es común observar que, por ejemplo, el color rojo implica pasión, efervescencia, impulso; ideal para representar ciertos elementos y estimular sensaciones acordes. Nótese que en la mayoría de marcas de comida, el color rojo predomina, ya que lo hace más apetecible al subconsciente humano y predispone al potencial consumidor a querer hacerse con ello.

Siguiendo el mismo ejemplo, el verde en marcas de alimentos se utiliza para representar lo natural, la limpieza y frescura; muy empleado en marcas ecológicas. El color base de la aplicación es el azul (hex:#367cd3); representa la serenidad, responsabilidad, sinceridad y verdad; apto para ser acogedor y mostrar fiabilidad. Es deliberado el uso de este color al igual que también lo es en la mayoría de las redes sociales. Buscan ganarse la confianza del usuario y dar un ambiente en el que se tenga una experiencia relajante y confortable. Por todo esto, el azul acerca la seguridad del criptosistema utilizado. Para más información sobre la evaluación de elementos visuales para las interfaces de usuario ver [37].

3.7. Seguridad y criptología

La seguridad utilizada se basa en la criptología con curvas elípticas. Para la implementación del criptosistema se han utilizado las clases de la librería *Bouncy Castle* y una interfaz *AppEllipticCurveI* a implementar con los métodos necesarios para la aplicación.

El flujo se simplifica básicamente en asignar a los usuarios del sistema un punto P aleatorio en una curva elíptica dentro de un campo finito $GF(2^m)$. Las curvas están delimitadas por un conjunto de nombres de curvas ya definidas que cumplen ciertas características de seguridad (orden de la curva de más de 130 *bits*) y capacidad objetivo (codificaciones no superiores a la capacidad de las tarjetas NFC). Las curvas siguen diferentes estándares y se cargan en función del nombre que se les atribuye, el listado de las curvas disponibles se puede observar en [28] dentro de las correspondientes a los campos $GF(2^m)$.

Los puntos P obtenidos se multiplican por una variable aleatoria privada k de 160 *bits* de tamaño obteniendo kP . Siguiendo el método *SKEY*, se multiplica el resultado kP tantas veces como usos se hayan indicado a la hora de la creación del punto P (véase el apartado de la aplicación 3.9.4 sobre la creación de usuarios). Con ello se computa el valor qkP que es un punto en la curva. Computar kP es sencillo, sin embargo, obtener la variable k es computacionalmente muy complejo debido al problema del logaritmo discreto. Para utilizar códigos de un solo uso se computa q veces la suma de kP para almacenar en la base de datos el punto $(q + 1)kP$ asociado a un usuario de la aplicación; a su vez, se escribe en la tarjeta NFC el valor qkP y el identificador del usuario.

A la hora de validar la información de la tarjeta se obtiene la codificación del punto qkP de la tarjeta NFC. A este punto se le añade el punto original kP y se comprueba igual a $(q + 1)kP$ de la base de datos. Si coincide se valida la información con lo que se prepara el código del siguiente uso, que se trata de $(x - 1)kP$ y se escribe en la tarjeta (guardando el valor comprobante de $(x + 1)kP$ hasta alcanzar kP , siendo x el uso actual. Una vez agotados los usos se realiza automáticamente la asignación de un nuevo punto al usuario con los q usos elegidos originalmente.

Se muestra en la figura 3.9 y 3.10 la estructura de la interfaz mencionada junto a la documentación de cada uno de los métodos que la componen.

```

public interface AppEllipticCurveI {

    /**
     * Load instance parameters of a elliptic curve from given values
     * @param {@link String} curveName
     * @param {@link java.math.BigInteger} k
     * @return {@link org.bouncycastle.asn1.x9.X9ECParameters} X9ECParameters of curve
     * @throws {@link IllegalArgumentException} IllegalArgumentException
     * @throws {@link fidel.pfg.fnfc.exceptions.CurveNotLoaded} CurveNotLoaded
     */
    public X9ECParameters loadEC(String curveName, BigInteger k) throws IllegalArgumentException , CurveNotLoaded;

    /**
     * Gets a random point from the loaded elliptic curve
     * @return {@link org.bouncycastle.math.ec.ECPoint.F2m} random point of the loaded curve
     * @throws {@link fidel.pfg.fnfc.exceptions.CurveNotLoaded} CurveNotLoaded
     */
    public ECPoint.F2m getRandomPoint() throws CurveNotLoaded;

    /**
     * Generate and set a new secure random key with a default key size
     * @return {@link org.bouncycastle.math.ec.ECPoint.F2m} random point
     */
    public BigInteger newKey();

    /**
     * Multiply the given point {@link org.bouncycastle.math.ec.ECPoint.F2m} p1 n+1 times
     * @param {@link org.bouncycastle.math.ec.ECPoint.F2m} p1 the point to multiply
     * @param n times to multiply +1
     * @return p1*(n+1) as {@link org.bouncycastle.math.ec.ECPoint.F2m}
     */
    public ECPoint.F2m addPoint(ECPoint.F2m p1, int n);
}

```

Figura 3.9: Interfaz AppEllipticCurveI que se implementa en la aplicación (I).

```

    public ECPoint.F2m addPoint(ECPoint.F2m p1, int n);

    /**
     * Add the {@link org.bouncycastle.math.ec.ECPoint.F2m} p2 to p1
     * @param {@link org.bouncycastle.math.ec.ECPoint.F2m} p1
     * @param {@link org.bouncycastle.math.ec.ECPoint.F2m} p2
     * @return result of p1+p2 as {@link org.bouncycastle.math.ec.ECPoint.F2m}
     */
    public ECPoint.F2m addPointsCustom(ECPoint.F2m p1, ECPoint.F2m p2);

    /**
     * Encode the {@link org.bouncycastle.math.ec.ECPoint.F2m} given
     * @param {@link org.bouncycastle.math.ec.ECPoint.F2m} point
     * @return {@link String} String encoded point
     * @throws {@link fidel.pfg.fnfc.exceptions.CurveNotLoaded} CurveNotLoaded
     */
    public String encode(ECPoint.F2m point) throws CurveNotLoaded;

    /**
     * Gets the ECPoint.F2m from encoded value
     * @param {@link String} pointValue
     * @return {@link org.bouncycastle.math.ec.ECPoint.F2m} decoded point
     * @throws {@link fidel.pfg.fnfc.exceptions.CurveNotLoaded} CurveNotLoaded
     */
    public ECPoint.F2m decode(String pointValue) throws CurveNotLoaded;
}

```

Figura 3.10: Interfaz AppEllipticCurveI que se implementa en la aplicación (II).

Dentro de la implementación es oportuno comentar el método *AddCustomPoints* el cuál es la realización por cuenta propia del método de suma de puntos en una curva elíptica en campos finitos del tipo $GF(2^m)$. La figura 3.11 muestra en detalle la suma implementada.

```

@Override
public ECPPoint.F2m addPointsCustom(ECPPoint.F2m p1, ECPPoint.F2m p2){
    ECCurve.F2m ec = (ECCurve.F2m) p1.getCurve();
    ECPPoint.F2m other = p2;

    // If the point is the infinity
    if (p1.isInfinity()) { return other; }
    if (other.isInfinity()) { return p1; }

    ECFieldElement.F2m x2 = (ECFieldElement.F2m)other.getX();
    ECFieldElement.F2m y2 = (ECFieldElement.F2m)other.getY();
    ECFieldElement.F2m x1 = (ECFieldElement.F2m)p1.getX();
    ECFieldElement.F2m y1 = (ECFieldElement.F2m)p1.getY();

    // Check if other = this or other = -this
    if (x1.equals(x2))
    {
        if (y1.equals(y2))
        {
            // this = other, i.e. this must be doubled
            return (ECPPoint.F2m)p1.twice();
        }

        // this = -other, i.e. the result is the point at infinity
        return (ECPPoint.F2m)ec.getInfinity();
    }

    ECFieldElement.F2m lambda
        = (ECFieldElement.F2m) (y1.add(y2)).divide(x1.add(x2));
    ECFieldElement.F2m x3
        = (ECFieldElement.F2m) lambda.square().add(lambda).add(x1).add(x2).add(ec.getA());
    ECFieldElement.F2m y3
        = (ECFieldElement.F2m) lambda.multiply(x1.add(x3)).add(x3).add(y1);

    // Return with Normalize
    return (org.bouncycastle.math.ec.ECPPoint.F2m) ec.createPoint(x3.toBigInteger(), y3.toBigInteger(), true).normalize();
}

```

Figura 3.11: Suma de puntos implementada en java.

Básicamente se divide en dos partes: si los puntos pasados por parámetro son iguales (duplicar el punto) y o si son distintos. Para el caso de puntos iguales, se realiza la llamada al método *twice()* de la clase *ECPPoint.F2m* de la librería de *Bouncy Castle*. Por el contrario, en el caso de puntos diferentes, se realiza la suma de puntos en curva elíptica tras unas comprobaciones previas. La fórmula utilizada y comprobada respecto a la realizada internamente por la librería es la siguiente:

$$\begin{aligned}
 y^2 + xy &= x^3 + ax^2 + b \pmod{n} \equiv E(GF(2^m)) \\
 P &= (x_1, y_1), Q = (x_2, y_2), R = P + Q = (x_3, y_3) \\
 P, Q, R &\in E(GF(2^m)) \\
 \lambda &= (y_1 + y_2) / (x_1 + x_2) \\
 x_3 &= \lambda^2 + \lambda + x_1 + x_2 + a \\
 y_3 &= \lambda * (x_1 + x_3) + x_3 + y_1
 \end{aligned}$$

La seguridad reside en la privacidad del elemento k difícilmente obtenible pese a que los demás elementos sean públicos gracias a las curvas elípticas en campos finitos y al uso de *SKEY* para utilizar códigos únicos de un solo uso. En el escenario real definido en el apartado 3.4 se utilizaría una comunicación segura de la clave k y otra clave q también empleando curvas elípticas. La idea simplificada es la misma, obtener el valor k de kP es difícilmente computable. En el anexo A A se muestra el código de ejemplo de una comunicación de claves de este tipo. Con ésta implementación se podrían comunicar los valores de forma segura entre los tornos de seguridad y los servidores de comprobación y validación.

3.8. Base de datos

La base de datos, mencionada en el apartado 3.2, es *SQLite*, conocida por su sencillez y versatilidad. Se utiliza este tipo de base de datos debido a la comodidad y simplicidad con la que trabaja en un proyecto *Android*.

En el escenario virtual de la aplicación, en vez de esta base de datos se utilizaría una centralizada en los servidores de la empresa. Además, se realizarían conexiones seguras para no comprometer la información a enviar. Sin embargo, ésto no es necesario dentro del ámbito del escenario real, ya que toda la información que se precisa de los servidores ficticios de la empresa se encuentran dentro de esta pequeña base de datos.

Dentro de esta base de datos se encuentra la información de la curva elíptica implementada y la clave privada asociada (véase el apartado sobre seguridad y criptología 3.7). También está la información de parte de los usuarios ficticios de la empresa. Por último, se encuentra una tabla referida a la información de cada usuario que compone los datos para poder validar el contenido de cada tarjeta NFC de cada usuario. En la figura 3.12 se observa la distribución de tablas y la relación entre ellas (creado mediante la herramienta online *GenMyModel* [14]). Posteriormente en la figura 3.13 se observa el *script* de creación en lenguaje *SQL*.

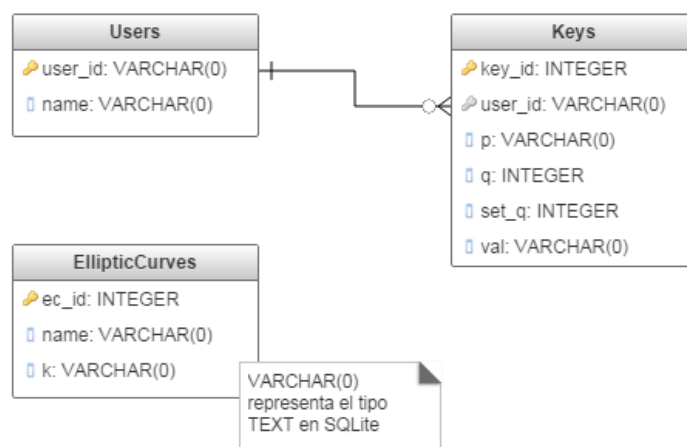


Figura 3.12: Representación de la base de datos implementada.

```

CREATE TABLE Users(
    user_id TEXT PRIMARY KEY,
    name TEXT
);
CREATE TABLE Keys(
    key_id INTEGER PRIMARY KEY AUTOINCREMENT,
    user_id TEXT,
    p TEXT,
    q INTEGER,
    set_q INTEGER,
    val TEXT,
    FOREIGN KEY(user_id) REFERENCES Users(user_id) ON DELETE CASCADE
);
CREATE TABLE EllipticCurves(
    ec_id INTEGER PRIMARY KEY AUTOINCREMENT,
    name TEXT,
    k TEXT
);

PRAGMA foreign_keys=ON;
CREATE INDEX user_id_index ON Keys(user_id);

```

Figura 3.13: Script para la creación de la base de datos.

El contenido por defecto del sistema se adecua a la implementación de la curva elíptica $c2pnb163v1$ (cuyos detalles se pueden encontrar en [6]). La clave por defecto es un número entero de 160 bits que es el siguiente: 838828326113658401440043399564525405856963575389. Los distintos valores de los campos P , kP , Q y $Set\ Q$, QkP corresponden con datos válidos del sistema utilizado y de puntos aleatorios de la curva generados bajo la clave mencionada.

3.9. Aplicación desarrollada

La aplicación final se compone principalmente de una actividad principal que dispone del menú lateral, la barra superior de acciones y un contenedor que va modificándose en función de la situación. En las siguientes secciones se muestra el contenido, utilización, significado y ejemplos de cada uno de estos apartados que compondrán los datos que se muestran en el contenedor.

3.9.1. Inicio y Menú

La página de inicio será el contenido por defecto del contenedor. Se presenta el logo de la aplicación junto a unas referencias a la autoría. La figura 3.14 muestra la visualización en cuestión. También se puede acceder a esta vista desde el menú lateral. Por otro lado, para acceder al menú de la aplicación se puede pulsar en el extremo superior-izquierdo de la pantalla o deslizar el dedo desde el lateral izquierdo hacia el derecho. Se listan las posibles opciones de la aplicación como se observa en la figura 3.15.

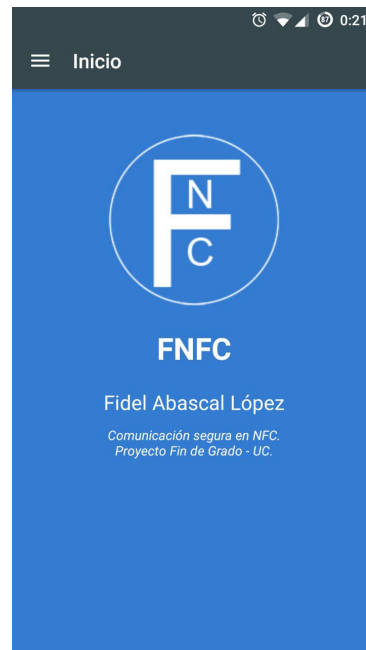


Figura 3.14: Vista de la pantalla por defecto 'Inicio'.

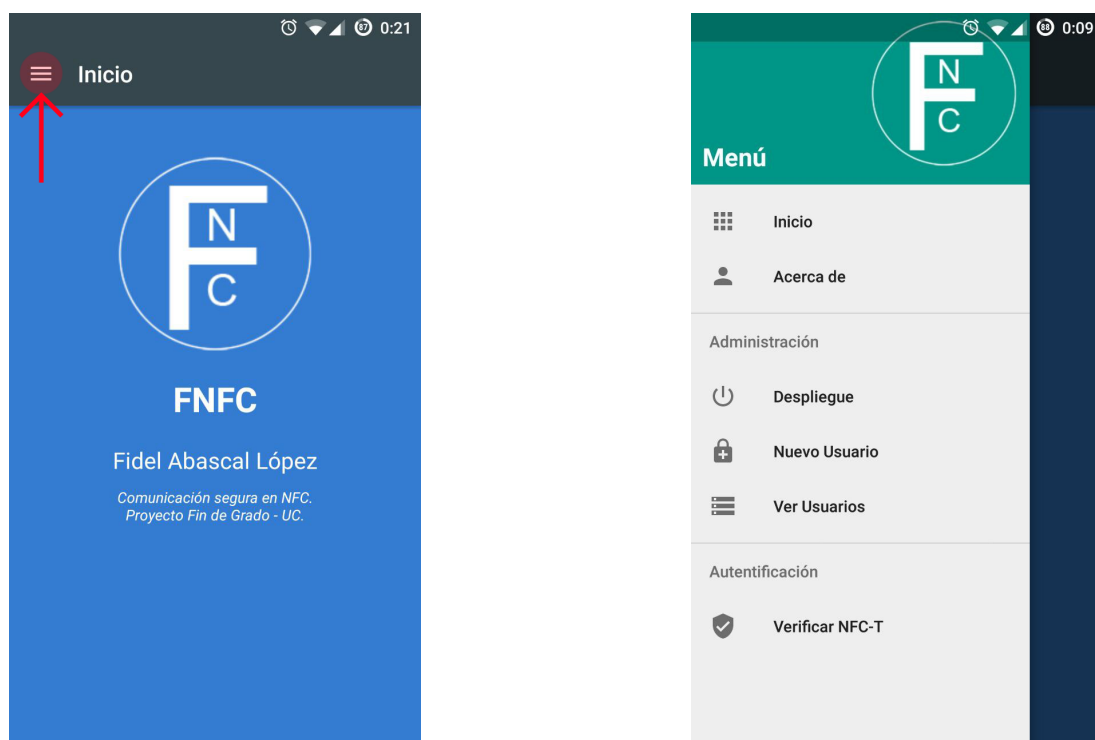


Figura 3.15: Acceso y vista del menú desplegado.

3.9.2. Acerca de

Como elemento del menú se puede acceder a la pantalla donde se visualiza en el contenedor principal la información relacionada con la aplicación. La figura 3.16 muestra la visualización de esta pantalla.



Figura 3.16: Vista de la pantalla 'Acerca De'.

3.9.3. Despliegue

Accediendo a la parte administrativa de la aplicación desde el menú llamada despliegue. En ella se muestra la pestaña del sistema y de la base de datos que se mostrarán al siguientes secciones.

Sistema

En la pestaña de sistema se muestra una advertencia de desplegar una nueva configuración de seguridad del criptosistema. A su vez, se puede escoger la definición de la curva a implementar antes de crear una nueva. Cuando se pulsa en la creación del nuevo sistema se muestra un mensaje de confirmación previo como se aprecia en la figura 3.17.

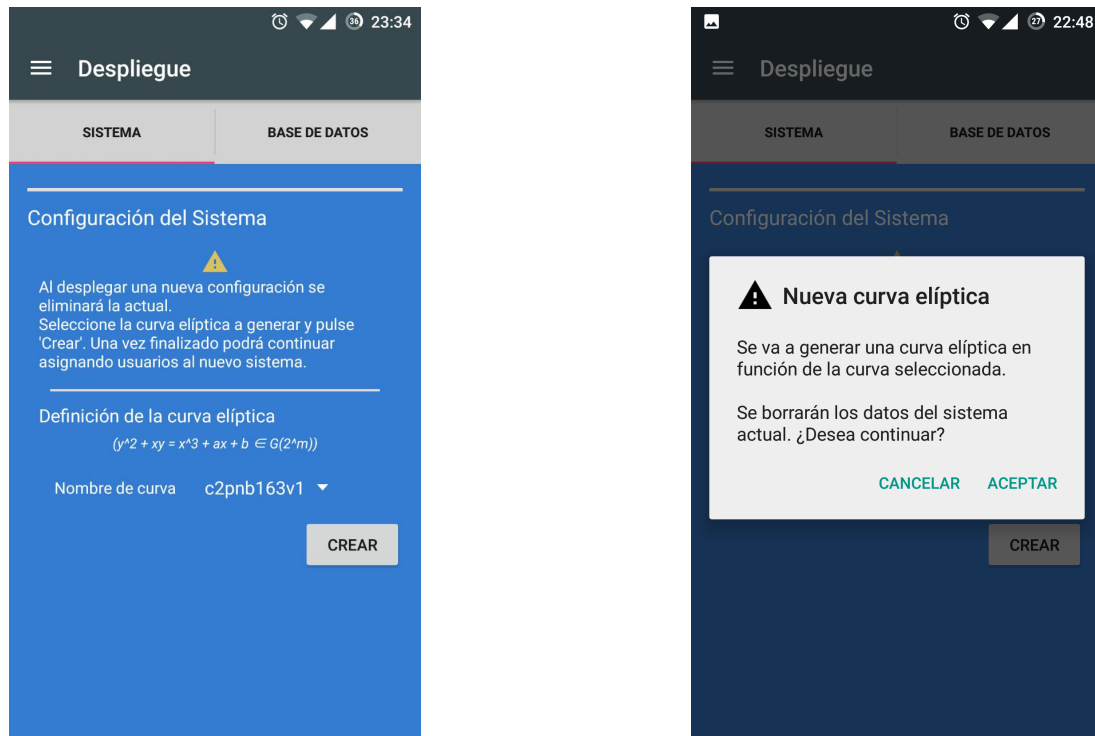


Figura 3.17: Pantalla de despliegue del sistema.

Base de datos

Otra funcionalidad de la aplicación es la de restaurar la base de datos con los parámetros por defecto. Antes de pulsar en el botón de restauración se pedirá una confirmación, finalizando con un mensaje como se puede observar en la figura 3.18.

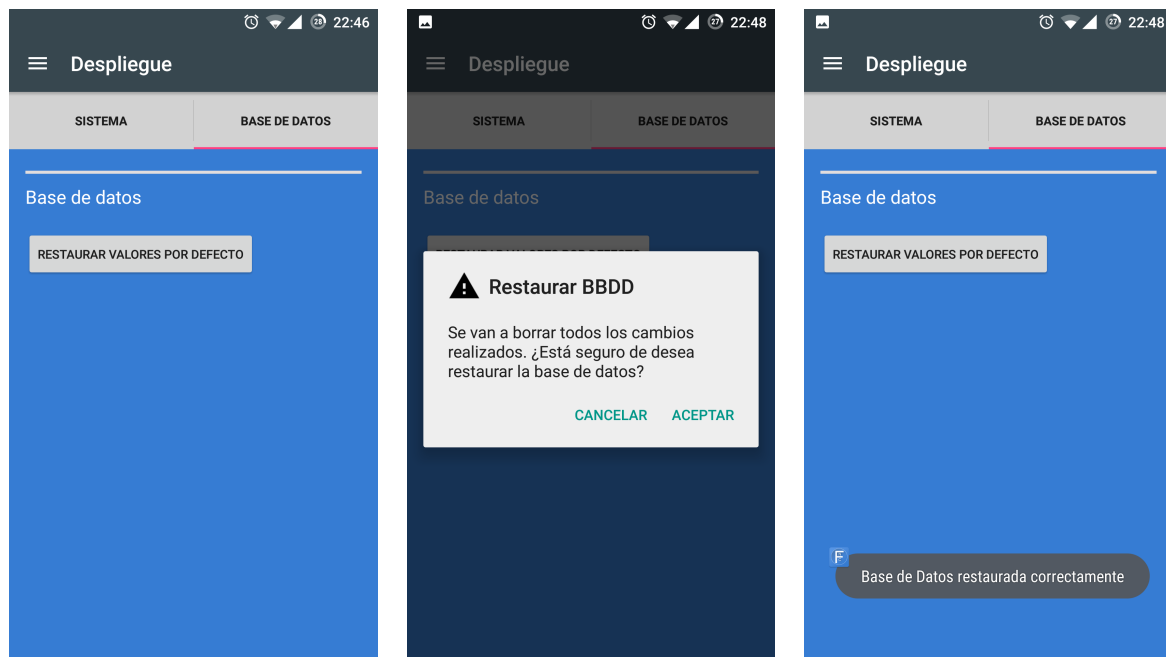


Figura 3.18: Acceso a la pestaña de BBDD y restauración de los datos por defecto.

3.9.4. Nuevo usuario

Mediante el menú se accede a la pantalla de creación de nuevo usuario. En esta pantalla se listará en un desplegable los usuarios disponibles (no asignados al sistema actual) y un *spinner* para seleccionar el número de usos que dispondrá el usuario por punto P (ver el apartado de seguridad y criptología 3.7). Cuando se hayan seleccionado los datos se muestra un mensaje de confirmación y aviso para tener a mano la tarjeta NFC en la que se va a grabar la información. La tarjeta deberá seguir el requisito de no estar vacía. La próxima vez que se acerque una tarjeta al terminal escribirá el contenido. Al escribir en la tarjeta se mostrará la pantalla de verificación. En la siguiente figura 3.19 se puede apreciar el funcionamiento.

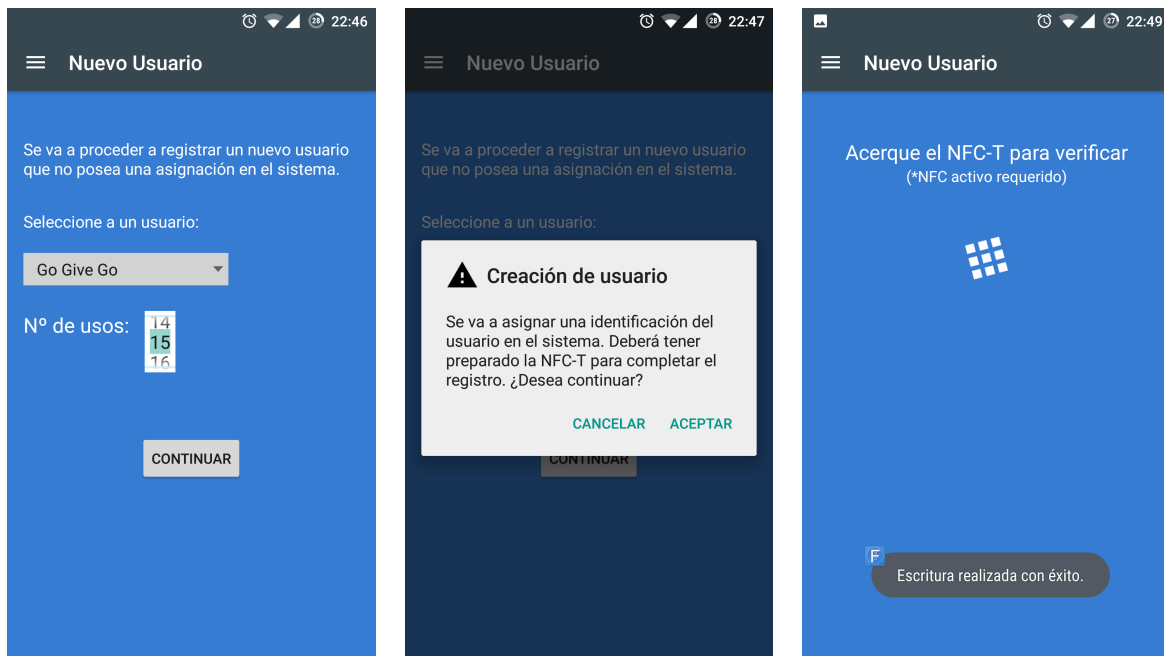
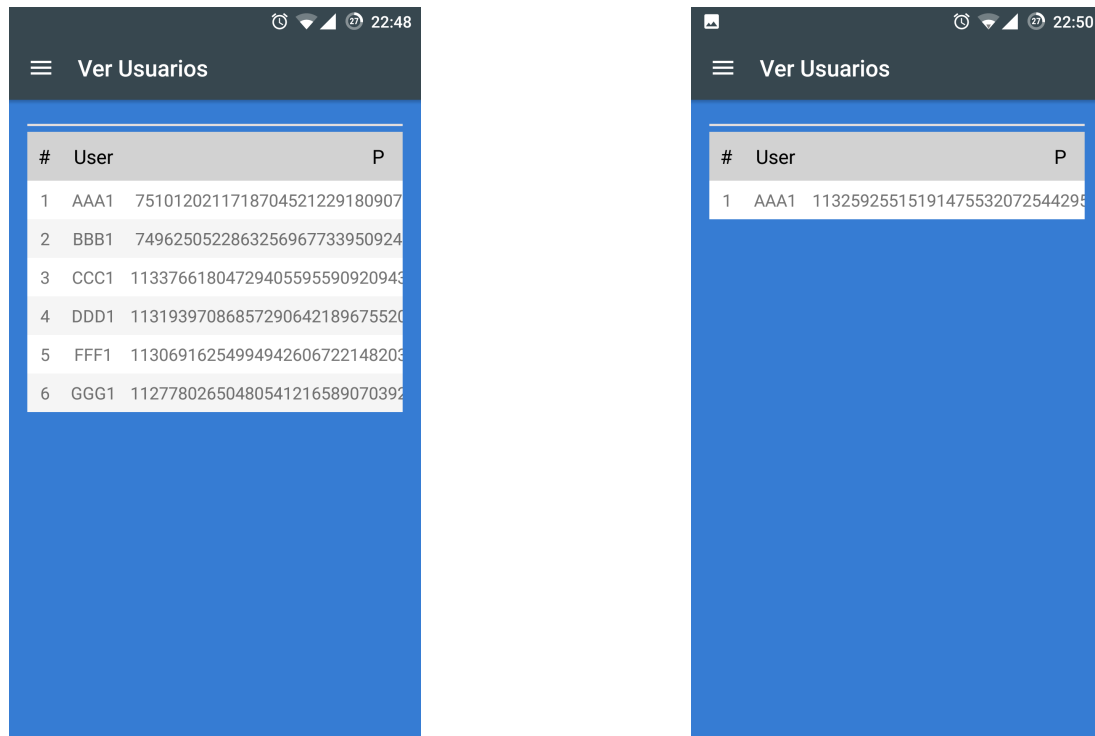


Figura 3.19: Nuevo usuario, aviso de creación de un nuevo usuario y escritura de la tarjeta NFC.

3.9.5. Ver usuarios

Desde el menú se puede acceder a la pestaña de ver usuarios. Donde se muestra la información de la base de datos relativa los usuarios del sistema actual. La figura 3.20 muestra la vista con varios usuarios y con un solo usuario en el sistema. Si no hubiera usuarios mostraría un mensaje avisando de que no hay usuarios disponibles.



#	User	P
1	AAA1 7510120211718704521229180907	
2	BBB1 7496250522863256967733950924	
3	CCC1 11337661804729405595590920943	
4	DDD1 11319397086857290642189675520	
5	FFF1 11306916254994942606722148203	
6	GGG1 11277802650480541216589070392	

#	User	P
1	AAA1 11325925515191475532072544298	

Figura 3.20: Listado de varios usuarios y un usuario del sistema.

3.9.6. Verificación

Por último, el menú dispone la pestaña de verificación. En esta pestaña se avisa de que se puede aproximar una tarjeta NFC (con NFC activo en el dispositivo *Android*) como indica la figura 3.21.

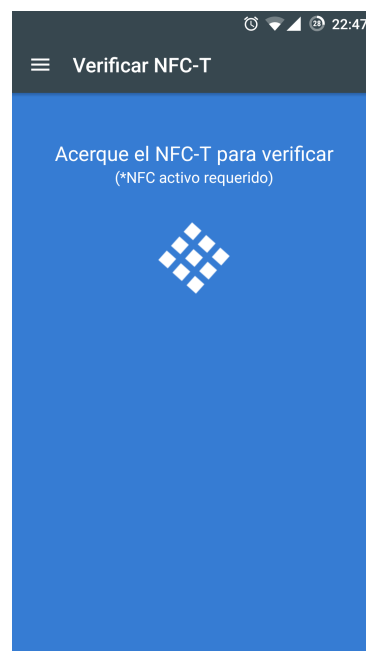


Figura 3.21: Pantalla 'Verificar NFC'.

Cuando el dispositivo detecta el contacto de una tarjeta NFC se lanzará automáticamente esta pantalla en la aplicación. Por lo que no es necesario encontrarse en esta pestaña cuando se acerque la tarjeta al dispositivo. Si el contenido es correcto se mostrará un mensaje de validación, sino mostrará un mensaje de error, ambos comportamientos se ven en la figura 3.22. Sin embargo, puede darse el caso de que no se escriba el nuevo contenido en la tarjeta tras verificarla. De esta forma, no se muestra el mensaje de escritura con éxito hasta que no se vuelva a acercar otra vez la tarjeta NFC, el comportamiento se observa en la figura 3.23.

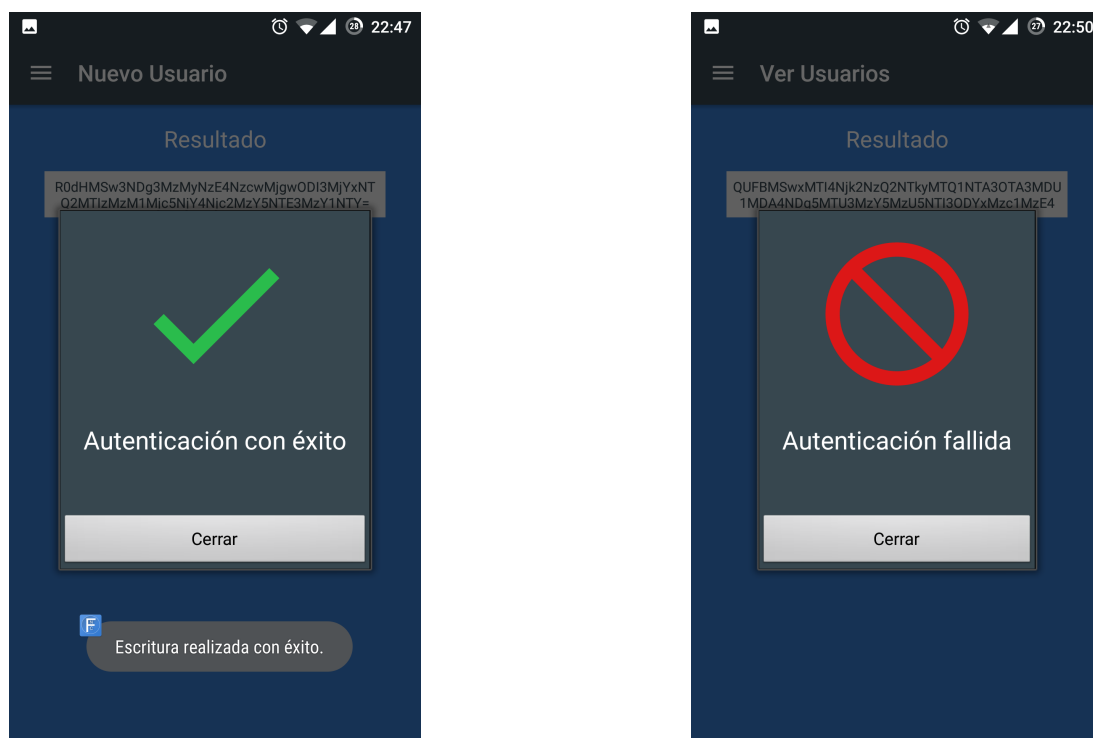


Figura 3.22: Verificar NFC válida común y fallida.

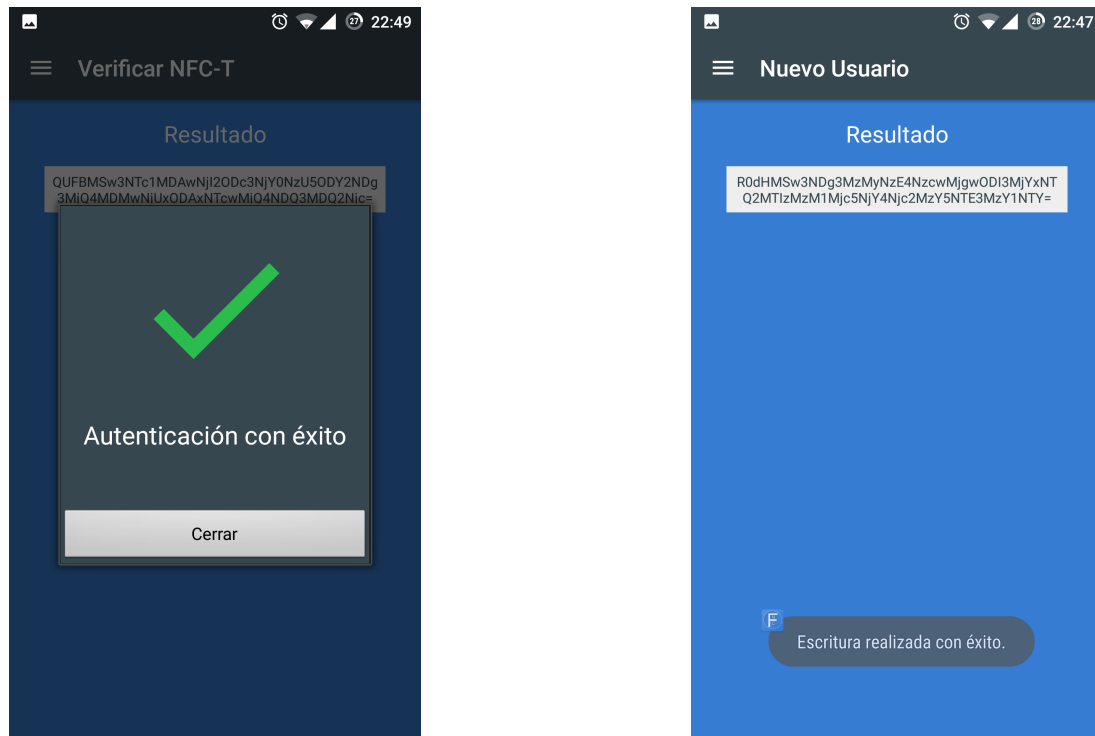


Figura 3.23: Verificar NFC válida, con escritura realizada y sin ella.

3.10. Pruebas

Para la comprobación y consecución de pruebas unitarias se ha elaborado un proyecto independiente para el testeo de la parte crítica de la aplicación. Ésta parte es la referida a la implementación de la seguridad y criptografía (véase apartado 3.7).

En cada uno de los métodos de la clase principal se ha testeado que su ejecución en distintos ámbitos y condiciones devuelve los resultados esperados cubriendo un alto porcentaje de código. Las pruebas se han centrado en el *framework* de pruebas unitarias *JUnit* [23] en su versión 4 elaborada para *Eclipse* [12].

La descripción básica de la clase y su documentación es la recogida por la interfaz que implementa (la descripción en detalle de la clase se puede encontrar en el apartado 3.7). El resultado de los test JUnit se pueden observar en la figura 3.24 con una consecución de cobertura del código de más del 96 % realizado con el complemento *EclEmma* [10] para este propósito. En la misma figura se muestra la prueba de consecución de cobertura código la clase objetivo.

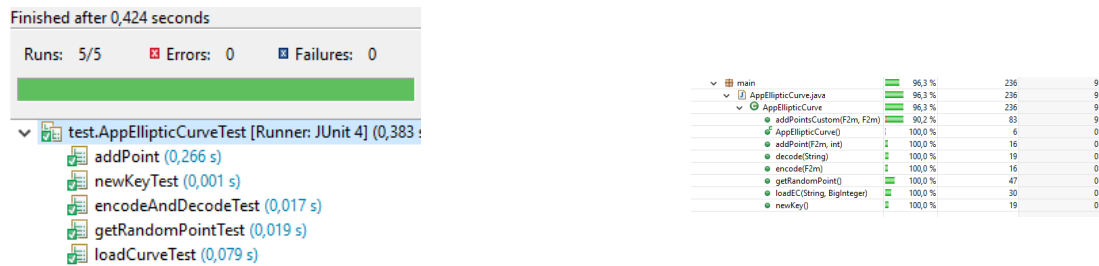


Figura 3.24: Resultado del test JUnit y cobertura de código alcanzada durante el test JUnit.

En la realización de estas pruebas unitarias de la clase que implementa la interfaz *AppEllipticCurveI*, clase principal que implementa la seguridad de la aplicación, se ha utilizado diferentes pruebas de ejecución del código utilizando *Java Reflection* [3] cuando se ha considerado oportuno. A modo de ejemplo se muestra en la figura el código del método principal *loadEC* para la carga de una curva elíptica en el sistema.

```
@Test
public void loadCurveTest() {
    String curveName = "c2pnb163v1", curveNameFalse="false curve name"; // Curve names to use
    try {
        this.aec.loadEC(curveName, null);

        // Reflection params access
        Field f = aec.getClass().getDeclaredField("ecurve");
        f.setAccessible(true);
        ECCurve.F2m createdParams = (ECCurve.F2m) f.get(aec);
        // c2pnb163v1 true order
        BigInteger order = new BigInteger("5846006549323611672814741626226392056573832638401");
        Assert.assertTrue(createdParams.getOrder().equals(order)); //check equals

        // Test loadEC with key
        k = new BigInteger("1370679717587290936099132961293636524819910709962");
        this.aec.loadEC(curveName, k);

        // Reflection k access
        f = aec.getClass().getDeclaredField("k");
        f.setAccessible(true);
        // Gets loaded k
        BigInteger createdK = (BigInteger) f.get(aec);
        Assert.assertTrue(createdK.equals(k)); // check equals

    } catch (Exception e) {
        e.printStackTrace();
        fail("Exception occurred");
    }

    // Exception assertion
    try {
        this.aec.loadEC(curveNameFalse, null);
        fail("Expected exception was not occurred.");
    } catch (IllegalArgumentException e) {
        assert true;
    }
}
```

Figura 3.25: Script para el test de la creación de una curva elíptica.

4

Conclusiones

En este TFG se han podido observar las características de la encriptación con curvas elípticas junto a tarjetas NFC, así como su potencia, complejidad y versatilidad. También se ha visto la efectividad de estos criptosistemas para aplicaciones como la autenticación del personal de una empresa o la seguridad de comunicaciones. Todo esto nos hace ver que el avance en las tecnologías de la comunicación va ligado al avance de los métodos de seguridad que los protegen. Visto con perspectiva, las investigaciones y futuros desarrollos tratan de impulsar una civilización globalizada basada en la comunicación.

4.1. Futuras mejoras

Dentro de las posibles mejoras e implementaciones futuras de la aplicación desarrollada se encuentra la ya comentada en el apartado 3.2 de utilizar tarjetas *MIFARE Classic 1k* o *4k*. De esta forma se utilizarían chips que permitieran un extra de seguridad para hacer de la aplicación un sistema de seguridad perfectamente válido y utilizable en un escenario real.

A su vez, en base a la autenticación por NFC, se podría elaborar la posibilidad de crear comunicaciones entre los distintos usuarios de la aplicación. Esto es, poder realizar comunicaciones seguras entre diferentes usuarios. Para ello sería idóneo implementar una comunicación basada en identificación con curvas elípticas; tal y como incitan a emplear en [2] con *Pairing* [9] (ver Anexo B B).

Finalmente, se pueden contar con una multitud de aplicaciones posibles para el desarrollo realizado. Todo aquello que requiera identificación segura, firma digital o certificación entre otros hace de lo expuesto en este TFG una base con la cuál continuar.



Anexo: Comunicación de claves

A continuación se muestra la comunicación de claves con codificación asimétrica [15].

```
/*
 * @author: Feng Hao, haofeng66@gmail.com
 *
 * This is a simple demo program written in Java, just to show how J-PAKE can
 * be implemented using
 * the Elliptic Curve group setting (the same setting as that of ECDSA or
 * ECDH).
 *
 * The implementation of J-PAKE in the DSA-like group setting has been
 * included into Bouncycastle (v1.48 and above).
 * Details can be found at:
 *
 *   http://www.bouncycastle.org/viewcvcs/viewcvcs.cgi/java/crypto/src/org/bouncycastle/crypto
 *
 * License of the code: none. The code is free to use and modify without any
 * restrictions.
 *
 * Dependence: BouncyCastle library (https://www.bouncycastle.org/java.html)
 *
 * Publications:
 * - The initial workshop paper (SPW'08):
 *   http://grouper.ieee.org/groups/1363/Research/contributions/hao-ryan-2008.pdf
 * - The extended journal version (Springer Transactions'10):
 *   http://eprint.iacr.org/2010/190.pdf
 *
 * Acknowledgment: the author would like to thank Dylan Clarke for useful
 * comments on the demo code.
 *
 * Date: 29 December 2013.
```

```

*
*/

import java.math.BigInteger;
import java.nio.ByteBuffer;
import java.security.MessageDigest;
import java.security.SecureRandom;

import org.bouncycastle.jce.ECNamedCurveTable;
import org.bouncycastle.jce.spec.ECParameterSpec;
import org.bouncycastle.math.ec.ECCurve;
import org.bouncycastle.math.ec.ECPoint;

public class EllipticCurveJPAKEDemo {

    /*
     * See [1] for public domain parameters for NIST standard curves
     * P-224, P-256, P-384, P-521. This demo code only uses P-256 as an example.
     * One can also
     * use other curves that are suitable for Elliptic Curve Cryptography
     * (ECDSA/ECDH), e.g., Curve25519.
     *
     * [1] D. Johnson, A. Menezes, S. Vanstone, "The Elliptic Curve Digital
     * Signature Algorithm (ECDSA)",
     * International Journal of Information Security, 2001. Available at
     * http://cs.ucsb.edu/~koc/ccs130h/notes/ecdsa-cert.pdf
     *
     */

    private ECParameterSpec ecSpec =
        ECNamedCurveTable.getParameterSpec("prime256v1");

    // Domain parameters
    private ECCurve.Fp ecCurve = (ECCurve.Fp)ecSpec.getCurve();
    private BigInteger a = ecCurve.getA().toBigInteger();
    private BigInteger b = ecCurve.getB().toBigInteger();
    private BigInteger q = ecCurve.getQ();
    private BigInteger coFactor = ecSpec.getH(); // Not using the symbol "h"
        here to avoid confusion as h will be used later in SchnorrZKP.
    private BigInteger n = ecSpec.getN();
    private ECPoint G = ecSpec.getG();

    /*
     * Shared passwords for Alice and Bob
     * Try changing them to different values?
     */

    private String s1Str = "deadbeef";
    private String s2Str = "deadbeef";

```

```

/*
 * UserIDs for Alice and Bob.
 */

private String AliceID = "Alice";
private String BobID = "Bob";

public static void main(String args[]) {

    EllipticCurveJPAKEDemo test = new EllipticCurveJPAKEDemo();
    test.run();
}

private void run () {

    System.out.println("***** Public elliptic curve domain parameters
*****\n");
    System.out.println("Curve param a (" + a.bitLength() + " bits): " +
        a.toString(16));
    System.out.println("Curve param b (" + b.bitLength() + " bits): " +
        b.toString(16));
    System.out.println("Co-factor h (" + coFactor.bitLength() + " bits): " +
        coFactor.toString(16));
    System.out.println("Base point G (" + G.getEncoded().length + " bytes):
" + new BigInteger(G.getEncoded()).toString(16));
    System.out.println("X coord of G (" +
        G.getX().toBigInteger().bitLength() + " bits): " +
        G.getX().toBigInteger().toString(16));
    System.out.println("y coord of G (" +
        G.getY().toBigInteger().bitLength() + " bits): " +
        G.getY().toBigInteger().toString(16));
    System.out.println("Order of the base point n (" + n.bitLength() + "
bits): " + n.toString(16));
    System.out.println("Prime field q (" + q.bitLength() + " bits): " +
        q.toString(16));

    System.out.println("");

    System.out.println("(Secret passwords used by Alice and Bob: " +
        "\"" + s1Str + "\" and \"" + s2Str + "\")\n");

    BigInteger s1 = new BigInteger(s1Str.getBytes());
    BigInteger s2 = new BigInteger(s2Str.getBytes());

    /* Step 1:
    *
    * Alice chooses x1 randomly from [1, n-1], x2 from [1, n-1]
    * Similarly, Bob chooses x3 randomly from [1, n-1] and x4 from [1, n-1]

```

```

*
* Alice -> Bob: G*x1, G*x2 and ZKP{x1}, ZKP{x2}
* Bob -> Alice: G*x3, G*x4 and ZKP{x3}, ZKP{x4}
*
* Note: in the DSA setting, x1, x3 are chosen from [0, q-1] and x2, x4
      from [1, q-1]
* However, in the ECDSA setting, the zero element is naturally excluded.
*/

BigInteger x1 =
    org.bouncycastle.util.BigIntegers.createRandomInRange(BigInteger.ONE,
        n.subtract(BigInteger.ONE), new SecureRandom());
BigInteger x2 =
    org.bouncycastle.util.BigIntegers.createRandomInRange(BigInteger.ONE,
        n.subtract(BigInteger.ONE), new SecureRandom());
BigInteger x3 =
    org.bouncycastle.util.BigIntegers.createRandomInRange(BigInteger.ONE,
        n.subtract(BigInteger.ONE), new SecureRandom());
BigInteger x4 =
    org.bouncycastle.util.BigIntegers.createRandomInRange(BigInteger.ONE,
        n.subtract(BigInteger.ONE), new SecureRandom());

ECPoint X1 = G.multiply(x1);
SchnorrZKP zkpX1 = new SchnorrZKP();
zkpX1.generateZKP(G, n, x1, X1, AliceID);

ECPoint X2 = G.multiply(x2);
SchnorrZKP zkpX2 = new SchnorrZKP();
zkpX2.generateZKP(G, n, x2, X2, AliceID);

ECPoint X3 = G.multiply(x3);
SchnorrZKP zkpX3 = new SchnorrZKP();
zkpX3.generateZKP(G, n, x3, X3, BobID);

ECPoint X4 = G.multiply(x4);
SchnorrZKP zkpX4 = new SchnorrZKP();
zkpX4.generateZKP(G, n, x4, X4, BobID);

System.out.println("*****Step 1*****\n");
System.out.println("Alice sends to Bob: ");
System.out.println("G*x1="+new BigInteger(X1.getEncoded()).toString(16));
System.out.println("G*x2="+new BigInteger(X2.getEncoded()).toString(16));
System.out.println("KP{x1}: {V="+new
    BigInteger(zkpX1.getV().getEncoded()).toString(16)+"
    r="+zkpX1.getr().toString(16)+"}");
System.out.println("KP{x2}: {V="+new
    BigInteger(zkpX2.getV().getEncoded()).toString(16)+"
    r="+zkpX2.getr().toString(16)+"}");
System.out.println("");

```

```

System.out.println("Bob sends to Alice: ");
System.out.println("G*x3="+new BigInteger(X3.getEncoded()).toString(16));
System.out.println("G*x4="+new BigInteger(X4.getEncoded()).toString(16));
System.out.println("KP{x3}: {V="+new
    BigInteger(zkpX3.getV().getEncoded()).toString(16)+"
    r="+zkpX3.getr().toString(16)+"}");
System.out.println("KP{x4}: {V="+new
    BigInteger(zkpX4.getV().getEncoded()).toString(16)+"
    r="+zkpX4.getr().toString(16)+"}");
System.out.println("");

/*
 * Alice checks 1) BobID is a valid identity (omitted in this demo code)
 * and 2) is different from her own
 */
if (AliceID.equals(BobID)) {
    System.out.println("ERROR: AliceID and BobID must be different.");
    System.exit(0);
}

/*
 * Alice verifies Bob's ZKPs.
 *
 * Note: in the DSA setting, Alice needs to check  $g^{x4} \neq 1$  (i.e., not
 * an identity element).
 * In the ECDSA setting, checking the infinity point (i.e., identity
 * element) has been covered in the public key validation step,
 * as part the Schnorr ZKP verification routine.
 */

if (verifyZKP(G, X3, zkpX3.getV(), zkpX3.getr(), BobID) && verifyZKP(G,
    X4, zkpX4.getV(), zkpX4.getr(), BobID)) {
    System.out.println("Alice checks KP{x3}: OK");
    System.out.println("Alice checks KP{x4}: OK");
    System.out.println("");
}else {
    System.out.println("ERROR: invalid KP{x3, x4}.");
    System.exit(0);
}

/*
 * Symmetrically, Bob checks Alice's UserID and her KPs on {x1} and {x2}
 */

if (BobID.equals(AliceID)) {
    System.out.println("ERROR: AliceID and BobID must be different.");
    System.exit(0);
}

```

```

if (verifyZKP(G, X1, zkpX1.getV(), zkpX1.getr(), AliceID) &&
    verifyZKP(G, X2, zkpX2.getV(), zkpX2.getr(), AliceID)) {
    System.out.println("Bob checks KP{x1}: OK");
    System.out.println("Bob checks KP{x2}: OK");
    System.out.println("");
} else {
    System.out.println("ERROR: invalid KP{x1, x2}.");
    System.exit(0);
}

/*
 * Step 2:
 *
 * Alice -> Bob: A and KP{x2s}
 * Bob -> Alice: B and KP{x4s}
 */

ECPoint GA = X1.add(X3).add(X4);
ECPoint A = GA.multiply(x2.multiply(s1).mod(n));

SchnorrZKP zkpX2s = new SchnorrZKP();
zkpX2s.generateZKP(GA, n, x2.multiply(s1).mod(n), A, AliceID);

ECPoint GB = X1.add(X2).add(X3);
ECPoint B = GB.multiply(x4.multiply(s2).mod(n));

SchnorrZKP zkpX4s = new SchnorrZKP();
zkpX4s.generateZKP(GB, n, x4.multiply(s2).mod(n), B, BobID);

System.out.println("*****Step 2*****\n");
System.out.println("Alice sends to Bob:");
System.out.println("A="+new BigInteger(A.getEncoded()).toString(16));
System.out.println("KP{x2*s}: {V="+new
    BigInteger(zkpX2s.getV().getEncoded()).toString(16)+"",
    r="+zkpX2s.getr().toString(16)+"}");
System.out.println("");

System.out.println("Bob sends to Alice:");
System.out.println("B="+new BigInteger(B.getEncoded()).toString(16));
System.out.println("KP{x4*s}: {V="+new
    BigInteger(zkpX4s.getV().getEncoded()).toString(16)+"",
    r="+zkpX4s.getr().toString(16)+"}");
System.out.println("");

/* Alice verifies Bob's ZKP */
if (verifyZKP(GB, B, zkpX4s.getV(), zkpX4s.getr(), BobID)) {
    System.out.println("Alice checks KP{x4*s}: OK");
} else {

```



```

        System.out.println("ERROR: invalid KP{x4*s}.");
        System.exit(0);
    }

    /*
     * Symmetrically, Bob checks Alice's KP on {x1*s}
     */
    if (verifyZKP(GA, A, zkpX2s.getV(), zkpX2s.getr(), AliceID)) {
        System.out.println("Bob checks KP{x2*s}: OK");
        System.out.println("");
    } else {
        System.out.println("ERROR: invalid KP{x2*s}.");
        System.exit(0);
    }

    /* After step 2, compute the common key based on hashing the x
       coordinate of the derived EC point */
    BigInteger Ka = getSHA256(
        B.subtract(X4.multiply(x2.multiply(s1).mod(n))).multiply(x2).getX().toBigInteger());
    BigInteger Kb = getSHA256(
        A.subtract(X2.multiply(x4.multiply(s2).mod(n))).multiply(x4).getX().toBigInteger());

    System.out.println("*****After step 2*****\n");
    System.out.println("Alice computes a session key \t K="+Ka.toString(16));
    System.out.println("Bob computes a session key \t K="+Kb.toString(16));

    /*
     * It is recommended that both parties perform an explicit key
     * confirmation
     * before using the session key. This provides explicit assurance that
     * the
     * two parties have actually obtained the same session key. The key
     * confirmation
     * method is the same regardless of the group setting (DSA or ECDSA).
     * See the
     * existing J-PAKE key confirmation implementation in Bouncycastle for
     * details.
     *
     *
     * http://www.bouncycastle.org/viewcvs/viewcvs.cgi/java/crypto/src/org/bouncycastle/
     */
}

public boolean verifyZKP(ECPublicKey generator, ECPublicKey X, ECPublicKey V,
    BigInteger r, String userID) {

    /* ZKP: {V=G*v, r} */
    BigInteger h = getSHA256(generator, V, X, userID);

```

```

// Public key validation based on p. 25
// http://cs.ucsb.edu/~koc/ccs130h/notes/ecdsa-cert.pdf

// 1. X != infinity
if (X.isInfinity()){
    return false;
}

// 2. Check x and y coordinates are in Fq, i.e., x, y in [0, q-1]
if (X.getX().toBigInteger().compareTo(BigInteger.ZERO) == -1 ||
    X.getX().toBigInteger().compareTo(q.subtract(BigInteger.ONE)) == 1 ||
    X.getY().toBigInteger().compareTo(BigInteger.ZERO) == -1 ||
    X.getY().toBigInteger().compareTo(q.subtract(BigInteger.ONE)) == 1) {
    return false;
}

// 3. Check X lies on the curve
try {
    ecCurve.decodePoint(X.getEncoded());
}
catch (Exception e){
    e.printStackTrace();
    return false;
}

// 4. Check that nX = infinity.
// It is equivalent - but more more efficient - to check the coFactor*X
// is not infinity
if (X.multiply(coFactor).isInfinity()) {
    return false;
}

// Now check if V = G*r + X*h.
// Given that {G, X} are valid points on curve, the equality implies
// that V is also a point on curve.
if (V.equals(generator.multiply(r).add(X.multiply(h.mod(n))))) {
    return true;
}
else {
    return false;
}
}

public BigInteger getSHA256(ECPPoint generator, ECPPoint V, ECPPoint X,
    String userID) {

    MessageDigest sha256 = null;

    try {

```

```

    sha256 = MessageDigest.getInstance("SHA-256");

    byte [] GBytes = generator.getEncoded();
    byte [] VBytes = V.getEncoded();
    byte [] XBytes = X.getEncoded();
    byte [] userIDBytes = userID.getBytes();

    // It's good practice to prepend each item with a 4-byte length
    sha256.update(ByteBuffer.allocate(4).putInt(GBytes.length).array());
    sha256.update(GBytes);

    sha256.update(ByteBuffer.allocate(4).putInt(VBytes.length).array());
    sha256.update(VBytes);

    sha256.update(ByteBuffer.allocate(4).putInt(XBytes.length).array());
    sha256.update(XBytes);

    sha256.update(ByteBuffer.allocate(4).putInt(userIDBytes.length).array());
    sha256.update(userIDBytes);

    } catch (Exception e) {
        e.printStackTrace();
    }

    return new BigInteger(sha256.digest());
}

public BigInteger getSHA256(BigInteger K) {

    MessageDigest sha256 = null;

    try {
        sha256 = MessageDigest.getInstance("SHA-256");
        sha256.update(K.toByteArray());
    } catch (Exception e) {
        e.printStackTrace();
    }

    return new BigInteger(1, sha256.digest()); // 1 for positive int
}

private class SchnorrZKP {

    private ECPoint V = null;
    private BigInteger r = null;

    private SchnorrZKP () {
        // constructor
    }
}

```

```
private void generateZKP (ECPPoint generator, BigInteger n, BigInteger x,
    ECPPoint X, String userID) {

    /* Generate a random v from [1, n-1], and compute V = G*v */
    BigInteger v =
        org.bouncycastle.util.BigIntegers.createRandomInRange(BigInteger.ONE,
            n.subtract(BigInteger.ONE), new SecureRandom());
    V = generator.multiply(v);

    BigInteger h = getSHA256(generator, V, X, userID); // h

    r = v.subtract(x.multiply(h)).mod(n); // r = v-x*h mod n
}

private ECPPoint getV() {
    return V;
}

private BigInteger getr() {
    return r;
}
}
```

B

Anexo: EC - Pairing

Gracias a *Sagemath* [21] se puede realizar una implementación de ejemplo para el uso de pairings. El código se mostrado a continuación se ha ejecutado dentro de un terminal de la propia aplicación online.

```
> Se crea una curva eliptica con las definiciones dadas
> p = 103; A = 1; B = 18; E = EllipticCurve(GF(p), [A, B])
> Se selecciona un punto de la curva y se muestra el orden del punto elegido
> P = E(33, 91); n = P.order(); n
19
> Se obtiene el orden multiplicativo
> k = GF(n)(p).multiplicative_order(); k
6
> Se calcula el tate pairing con P, n y k
> P.tate_pairing(P, n, k)
1
> Se calcula 3*P
> 3*P
(8 : 34 : 1)
> Se muestran los puntos de la curva
> for point in E:
>     print point
(0 : 1 : 0)
(0 : 11 : 1)
(0 : 92 : 1)
(2 : 50 : 1)
(2 : 53 : 1)
(6 : 31 : 1)
(6 : 72 : 1)
(7 : 33 : 1)
(7 : 70 : 1)
(8 : 34 : 1)
```

(8 : 69 : 1)
(12 : 25 : 1)
(12 : 78 : 1)
(14 : 43 : 1)
(14 : 60 : 1)
(15 : 3 : 1)
(15 : 100 : 1)
(17 : 2 : 1)
(17 : 101 : 1)
(18 : 10 : 1)
(18 : 93 : 1)
(19 : 43 : 1)
(19 : 60 : 1)
(20 : 2 : 1)
(20 : 101 : 1)
(21 : 37 : 1)
(21 : 66 : 1)
(22 : 39 : 1)
(22 : 64 : 1)
(24 : 8 : 1)
(24 : 95 : 1)
(26 : 25 : 1)
(26 : 78 : 1)
(27 : 40 : 1)
(27 : 63 : 1)
(28 : 33 : 1)
(28 : 70 : 1)
(29 : 5 : 1)
(29 : 98 : 1)
(32 : 8 : 1)
(32 : 95 : 1)
(33 : 12 : 1)
(33 : 91 : 1)
(37 : 49 : 1)
(37 : 54 : 1)
(38 : 21 : 1)
(38 : 82 : 1)
(42 : 20 : 1)
(42 : 83 : 1)
(43 : 19 : 1)
(43 : 84 : 1)
(45 : 41 : 1)
(45 : 62 : 1)
(47 : 8 : 1)
(47 : 95 : 1)
(48 : 6 : 1)
(48 : 97 : 1)
(50 : 51 : 1)
(50 : 52 : 1)

(51 : 46 : 1)
(51 : 57 : 1)
(52 : 17 : 1)
(52 : 86 : 1)
(54 : 7 : 1)
(54 : 96 : 1)
(55 : 0 : 1)
(62 : 13 : 1)
(62 : 90 : 1)
(64 : 20 : 1)
(64 : 83 : 1)
(65 : 25 : 1)
(65 : 78 : 1)
(66 : 2 : 1)
(66 : 101 : 1)
(68 : 33 : 1)
(68 : 70 : 1)
(69 : 51 : 1)
(69 : 52 : 1)
(70 : 43 : 1)
(70 : 60 : 1)
(72 : 13 : 1)
(72 : 90 : 1)
(77 : 21 : 1)
(77 : 82 : 1)
(81 : 36 : 1)
(81 : 67 : 1)
(83 : 49 : 1)
(83 : 54 : 1)
(84 : 12 : 1)
(84 : 91 : 1)
(86 : 49 : 1)
(86 : 54 : 1)
(87 : 51 : 1)
(87 : 52 : 1)
(89 : 12 : 1)
(89 : 91 : 1)
(91 : 21 : 1)
(91 : 82 : 1)
(92 : 18 : 1)
(92 : 85 : 1)
(93 : 48 : 1)
(93 : 55 : 1)
(94 : 1 : 1)
(94 : 102 : 1)
(95 : 42 : 1)
(95 : 61 : 1)
(97 : 38 : 1)
(97 : 65 : 1)

(100 : 20 : 1)
(100 : 83 : 1)
(101 : 27 : 1)
(101 : 76 : 1)
(102 : 4 : 1)
(102 : 99 : 1)

Bibliografía

- [1] BlueKrypt. Cryptographic key length recommendation with Arjen K. Lenstra theorems. [Online] Disponible en <https://www.keylength.com> , última visita 25.05.2016.
- [2] Dan Boneh and Matt Franklin. Identity-based encryption from the Weil pairing. In *Advances in Cryptology—CRYPTO 2001*, pages 213–229. Springer, 2001.
- [3] Oracle Corporation. Java Reflection. [Online] Disponible en <http://docs.oracle.com/javase/tutorial/reflect/> , última visita 20.05.2016.
- [4] Oracle Corporation. Java Security Package. [Online] Disponible en <https://goo.gl/t3qbR8> , última visita 02.05.2016.
- [5] Oracle Corporation. Software Java. [Online] Disponible en <https://www.oracle.com/es/java/index.html> , última visita 07.05.2016.
- [6] Technische Universität Darmstadt. Curves over $GF(2^m)$ defined by ANSI X9.62. [Online] Disponible en <https://www.flexiprovider.de/CurvesGf2mX962.html> , última visita 19.05.2016.
- [7] Whitfield Diffie and Martin E. Hellman. New directions in cryptography. *Information Theory, IEEE Transactions on*, 22(6):644–654, 1976.
- [8] DIMACS. Square and multiply algorithm. [Online] Disponible en <http://goo.gl/YjYIqB> , última visita 15.05.2016.
- [9] Régis Dupont and Andreas Enge. Provably secure non-interactive key distribution based on pairings. *Discrete Applied Mathematics*, 154(2):270–276, 2006.
- [10] EclEmma. Java Code coverage for Eclipse. [Online] Disponible en <http://eclemma.org/> , última visita 20.05.2016.
- [11] NFC Forum. NFC Forum Specifications. 16-04-2014. [Online] Disponible en <http://www.nfc-forum.org/specs/> , última visita 14.05.2016.
- [12] Eclipse Foundation. Eclipse. [Online] Disponible en <https://eclipse.org/> , última visita 17.05.2016.
- [13] Steven D. Galbraith and Pierrick Gaudry. Recent progress on the elliptic curve discrete logarithm problem. *Designs, Codes and Cryptography*, 78(1):51–72, 2016.
- [14] GenMyModel. GenMyModel modeling platform. [Online] Disponible en <https://www.genmymodel.com> , última visita 19.05.2016.

- [15] Feng Hao. J-PAKE as ECDSA implementation. 29-12-2013. [Online] Disponible en <http://goo.gl/myx25b> , última visita 20.05.2016.
- [16] Google Inc. Android APIs - About version 5.0. [Online] Disponible en <http://goo.gl/0J6M7b> , última visita 14.05.2016.
- [17] Google Inc. Android APIs - About version 5.1. [Online] Disponible en <http://goo.gl/jCA4QL> , última visita 14.05.2016.
- [18] Google Inc. Android Studio - The Official IDE for Android. [Online] Disponible en <http://developer.android.com/intl/ko/sdk/index.html> , última visita 05.05.2016.
- [19] Google Inc. Material design guidelines. [Online] Disponible en <https://goo.gl/RLCfEf> , última visita 13.05.2016.
- [20] Google Inc. Material Design Icons. [Online] Disponible en <https://design.google.com/icons/> , última visita 08.05.2016.
- [21] SageMath Inc. SageMath - Collaborative Computational Mathematics. [Online] Disponible en <http://cloud.sagemath.com> , última visita 23.05.2016.
- [22] ISO/IEC. ISO/IEC Standard 14443-3. 2011. [Online] Disponible en <https://www.iso.org/obp/ui/#!iso:std:50942:en> , última visita 14.05.2016.
- [23] JUnit. JUnit - Unitary test framework. [Online] Disponible en <http://junit.org/junit4/> , última visita 17.05.2016.
- [24] Arjen K. Lenstra and Eric R. Verheul. Selecting cryptographic key sizes. *Journal of cryptology*, 14(4):255–293, 2001.
- [25] Manuel José Lucena. Criptografía y seguridad en computadores. *versión 0.7*, 5, 1999.
- [26] MIFARE. MIFARE IC - Contactless smart cards. [Online] Disponible en <https://www.mifare.net/en/products/chip-card-ics/> , última visita 11.05.2016.
- [27] Legion of the Bouncy Castle Inc. Bouncy Castle - API Criptográfica. [Online] Disponible en <https://www.bouncycastle.org/java.html> , última visita 10.05.2016.
- [28] Legion of the Bouncy Castle Inc. Bouncy Castle - Supported Curves (ECDSA and ECGOST). [Online] Disponible en <http://goo.gl/TQipcD> , última visita 21.05.2016.
- [29] José Pastor and Miguel Ángel Sarasa López. *Criptografía digital: fundamentos y aplicaciones*. Publicaciones Universitarias Universidad de Zaragoza, 1998.
- [30] Pocketworks. yUML Diagrams. [Online] Disponible en <http://yuml.me/> , última visita 16.05.2016.
- [31] Randall Price. *The Stones Cry Out*. Harvest House, 1997.
- [32] Mohamad Ramli, Nurul Akmar, Muhammad Saufi Kamarudin, and Ariffuddin Joret. Iris recognition for personal identification. 2008.

- [33] Ronald L. Rivest, Adi Shamir, and Len Adleman. A method for obtaining digital signatures and public-key cryptosystems. *Communications of the ACM*, 21(2):120–126, 1978.
- [34] Bruce Schneier. Applied Cryptography, Second Edition: Protocols, Algorithms, and Source Code in C (cloth). 1996.
- [35] Claude E. Shannon. A mathematical theory of communication. *ACM SIGMOBILE Mobile Computing and Communications Review*, 5(1):3–55, 2001.
- [36] SQLite. SQLite - Public domain embedded SQL database engine. [Online] Disponible en <https://www.sqlite.org/> , última visita 11.05.2016.
- [37] Debbie Stone, Caroline Jarrett, Mark Woodroffe, and Shailey Minocha. *User interface design and evaluation*. Morgan Kaufmann, 2005.
- [38] GanttProject Team. GanttProject. [Online] Disponible en <http://ganttproject.biz/> , última visita 15.05.2016.
- [39] Whatsapp. Whatsapp encryption overview. 04-04-2014. [Online] Disponible en <https://goo.gl/oiHqiH> , última visita 14.05.2016.

